

ՏԵԽՆԻԿԱԿԱՆ ԳԻՏՈՒԹՅՈՒՆՆԵՐԻ ՍԵՐԻԱ СЕРИЯ ТЕХНИЧЕСКИХ НАУК

ԽՄԲԱԴՐԱԿԱՆ ԿՈԼԵԳԻԱ

Սասել Հ. Տ., Ալերսենակի Վ. Վ., Գաստրության Ա. Մ., Եղիազարյան Ի. Վ., Կասյան Մ. Վ., Նագարով Ա. Գ. (պատ. *իմրագիր)*, Սիմանով Մ. Զ., Տեր-Սաեփանյան Գ. Ի., Փինաօյան Վ. Վ. (պատ. իմրագրի տեղակալ)։

РЕДАКЦИОННАЯ КОЛЛЕГИЯ:

Авонц Г. Т., Аленсеевский В. В., Гаспавям А. М., Егиазаров И. В., Касьян М. В., Назаров А. Г. (ответ. редактор). Пинивжин В. В. (зам. отв. редактора), Симонов М. З., Тер-Степаням 1. И.

Տեխնիկական գիտութ. սերիա

ХУ. № 6. 1962 Серия технических наук

прикладная механика

А. Г. НАЗАРОВ

о механическом подобии твердых тел и его применении к мсследованию строительных КОНСТРУКИНИ И СЕЙСМОСТОЙКОСТИ СООРУЖЕНИЙ

Сообшение Б

Здесь приводится дальнейшее развитие представления о стагистическом подобии, данном в 1111

§ 1. Тождественность материалов и конструкций в статистическом смысле

Ава материала тождественны в статистическом смысле, если обе серии опытных образцов, изготовленных из них одним и тем же способом, при испытании на произвольную однотипную нагрузку приводят к статистически тождественным результатам.

Важно иметь ввиду следующее обстоятельство. Материалы, тождественные в статистическом смысле, вообще говоря, являются неоднородными, причем статистические закономерности в распределения веоднородностей неизвестны. Поэтому требуется изготовление больших количеств однотинных образцов для получения необходимого статистического материала по их механическим характеристикам. Далее в определении тождественности материалов указывается, что сравниваемые серии образдов должны быть изготовлены одним и тем же снособом. Тождественность технологии изготовления является необуодимым условием, так как технология может внести искажения п механические характеристики образцов. Трудность заключается также в том, что необходимо перед исследованием установить, является ли материал изогронным или анизотронным. Ввиду неоднородности материала постановка этого вопроса также должна быть дана в стагистическом смысле.

Материал является изотронным в статистическом смысле, если его механические свойстви тождественны в статистическом смысле во исех направлениях. Материал является анизотропным в статистическом смысле, если его механические свойства в статистическом смысле меняются в зависимости от направления,

Здесь мы не останавливаемся на критериях тождественности материалов, что должно являться предметом специальных исследований. Имея ввиду многообразне способов загружения конструкций в современной технике, представляется во многих случаях целесообразным устанавливать тождественность материалов в узких, специализировавных пределах изменения нагрузок.

§ 2. Простое подобие в статистическом смысле

Положим, что имеются две серии тел $\{A_I\}$ и $\{A_I\}$, различаюпился между собою лишь масштабным множителем 🛋 Если они облаляют и схолственных своих точках одинаковыми механическими свойствами в статистическом смысле, то будем говорить, что имеет место простое подобие в статистическом смысле. Ясно, что в этом случае материалы серий тел $\{A_i\}$ и $\{A_i\}$ не являются статистически тождественными. Действительно, по условию материал образца А, неоднороден. Стало быть, для обеспечения водобия и статистическом смысле, мятериал образца A_i также должев быть неоднороден. Поскольку образцы A_i отличаются по споим размерам от образцов А: в с раз. то размеры неоднородностей материала тела А, должны отличаться от размеров неоднородностей материялов тела Ал в ф раз. Таким образом, действительно материалы тел Аг и Аг не могут быть статистически тождественными. Иначе говоря геометрические нараметры структур материалов тел. A_{ℓ} и A_{ℓ} должны рязличаться между собою также α раз. Это показывает на то интересное обстоятельство, что на неоднородные материалы можно смотреть как на своего рода конструкции, которые вмеют геометрическое подобие. Мы видим также, что при подходящем полборе структуры материалов М и М' в указанном выше смысле, условия статистического подобая должны быть обеспечены и поэтому масштабный эффект не будет иметь места. Не всегда возможно устанавлявать непосредственным путем геометрическое подобие структур материалов, из которых изготовлены гела A_i и A_I . Все же возможно указать путь для установления простого подобия материалов в статистическом смысле и для этих случаев. Пусть имеются неоднородные материалы М и М', для которых нужно проверить, имеет ли для нях место простое подобяе в статистическом смысле при задациом множителе подобия а.

На материала M изготовляем однотипные серии опытных образцов, скажем серии кубиков, призм и пр. На материала M' также изготовляем однотипные серии опытных образцов, по отличающихся от предыдущих серий по своим размерам геометрическим множителем подобия α . Если результаты испытаний серий образцов из материалов M и M' тождественныв статистическом смысле, в пределах какого-либо критерия согласия, то объявляем, что между пеоднородными материглами M и M' имеет место простое подобие в статистическом смысле при множителе подобия α .

Приведенное выше определение можно принять за критерий простого статистического подобия между материалами М и М'. Аналогич-

ным же образом можно распорядиться при рассмотрении случая простого статистического подобия при той или иной анизотропии в свойствах пеоднородного материала. В частном случае, когда $\alpha=1$, мы приходим к случаю статистически тождественных материалов, рассмотренному в предыдущем параграфе. Задача усложияется, если требуется искать то значение α , при котором осуществляется статистическое подобие. В этом случае необходимо предпринимать пробные испытания различных серий при разных значениях α .

Из изложенного вытекае пажный вынод для пряктики моделирования по простому подобию. Положим, что из материала М изготовлен оригинал A_i а из материала M' модель A' при множителе геометрического подобия 2. Если для оригипала изготовлены контрольные образцы для определения механических свойств материала М при некотором характерном размере I_i то для модели необходимо изготовить контрольные образцы для определения механических свойств материала М, при характерном размере а І. Или, пначе говоря, контрольные образцы для оригиналов и моделей должны находиться в том же геометрическом отношении, как размеры оригинала и модели. Если при этом контрольные образцы для материалов. М и М' окажутся в простом статистическом подобии, то можно утверждать, что материалы для оригипала модели подобраны правильно. Как уже указывалось в [1], чем крупнее размеры контрольных образцов, тем устойчивее будут результаты испытаний в смысле разброса и поэтому можно ограничаться испытавнем меньшего количества образцов. Средние же значения прочностей образцов палают с увеличением их рязмеров.

Простое подобие неоднородного материала поэтому не является обязательным условием реализации простого подобия между оригивалом и моделью. Действительно, допустим, что неоднородность материала проявляется лишь в элементе объема, пренебрежимо малом как в сравнении с размерами модели, так и в сравнении с размерами оригинала. С такими случаями часто встречаются, например, когда материалом служит металл. В этом случае, понятно, простое подобие между оригиналом и моделью можно реализовать из материалов не подобных, а тождеетвенных в статистическом смысле. Поэтому в таких случаях пробные образцы материалов для модели и оригинала могут быть изготонлены одинаковых размеров.

На этого примера следует, что не всегда требуется ортодоксально придерживаться простого подобия материалов в том же масштабе 2 для оригиналов и моделей, изготовляемых из них для обеспечения подобия.

Можно указать на промежуточные случан, при которых возможно хотя бы частично нарушить условие в полборе геометрического множителя подобия « для пробных образцов оригинала и модели.

Положим, например, что оригинал построен из бетона с макси-

мальной крупностью гравия порядка 5 см. По-видимому для такой крупности гравия желательны контрольные образцы на сжатие в виде куба со стороною 50 см. Если масштаб модели составляет 1/50 от патуры, то, строго говоря, пробные кубики должны иметь в стороне 1 см, а несок не крупнее 1 мм, что, конечно, не реально с точки зрения экспериментальной техники. Здесь может быть допущено некоторое уменьшение пробного кубика для оригинала, с допедением сто до 30 см, а для модели увеличение пробного кубика до 3 5 см в стороне и при этом условия добиться осуществления механического подобня между икми. Ясно, что пведение такого рода изменений само гребует некоторой изгледовательской работы для каждаго конкретного случая. При отом з ледует иметь паклу, что и меньше размеры пробных кубиков яз пеоднородного или риала, то и большее флуктуации в их прочностях и поэтому с тедует в потоватать, большее их количество для получения статистически достоверных разватов.

Если же в оригинале им ются неоднородичетв материллов крупных масштабов, соизмерныме с его размерами, то соблюдение отношения масштабов между образцами модели и образцами оригинали, равным и для соответственных контрольных образцов обязательно.

В качестве примера рассмотрим крупноблочное здание. Здесь эдементом здания является крупный блок, статистические характеристики прочности которого считаем определенными. Для модели естественно принять крупные блоки в линейном масштабе 2 и для них добиться тех же статистических характеристик прочности. В данном случае естестненно было бы за контрольные образцы принять самые блоки и, таким образом, выдерживать одинаковый линейный множитель подобии а как для зданий в целом, так и для их элементов. Для таких случаев, когда нозможны крупные неоднородности материала, примерно такого же порядка размерон как и сооружение из него, для испытуемого образца матер... га модели необходимо соблюдение того же геометрического подобия, что и для модели.

Таким образом можем сделать следующие выводы:

- 1. Если материал оригинала имеет крупиме неоднородности того же порядка, что и размеры самого оригинала, необходимо для моделирования обеспечить простое полобие материалов в том же масштабе а, в каком обеспечивается геометрическое полобие оригинала и модели. В этом случае пробиме образцы для моделя и оригинала должны быть выдержаны и том же геометрическом полобии как для самих моделей и оригиналов.
- 2. Если материал оригинала имест очень мелкую неоднородность изеринетость металла), то для обеспечения простого подобия между оригиналом и моделью достаточно их изготовлять из статистически тождественного материала, свойства которого описывы и § 1. В этом случае подобные образим для оригинала и моделя могут быть одинаконой величины.

В промежуточных случаях между этими двумя крайними пределами можно принять геометрический множитель подобия для пробных образцов отличными от геометрического множителя подобия для самих модели и оригинала. Установление разумных отклонений в этих величинах является предметом обсуждения.

§ 3. Подобие в статистическом смысле в общем случае

До настоящего времени рассматривалось простое подобие. Формулировать условия подобия в статистическом смысле в общем случае значительно трудиее.

Сначала приведем определение, статистического подобия для материалов M и M' конструкций A и A'. После этого сформулируем стагистическое подобие между ансамблями оригипалов $\{A_t\}$ и моделей Два материала M и M' будем называть статистически подобными при множителях подобия π , π , π если выполняются следующие условия:

- 1. Испытываются по две серии опытных образцов из материалов M и M' на различные виды напряженных состояний (напр. растяжение, кручение и др.), причем масштабы образцов отличаются мяюжителем геометрического подобия α (если для образца из материала M характерный линейный размер I то для подобного образца из материала M' характерный размер должен быть $I' = \alpha I$).
- 2. Средне-арифметические значения компонентов напряжений и леформаций серий онытных образцов удовлетворяют условиям:
 - $\sigma'=3$ в моменты времени t и $t=\eta$
- 3. Плотности распределения безразмерных механических величии, полученных по испытациям опытных образцов, изготовленных из материалов М и М', тождественны.

Значение первого условия ясно из определения простого подобия, данного и § 2. Оно полностью сохраняется и для подобия в общем случае и, как мы уже знаем, таким путем учитывается геометрическое подобие пеоднородностей материалов M и M'.

Второе условие, поскольку опо касается всех возможных компонентов напряжений и деформаций, является весьма жестким, трудно выполнимым на практике. Как следует из этого условия, опытные образцы должны подвергаться напряженным состояниям различных интенсивностей и для них должны фиксироваться деформации в различные моменты времени. По существу мы здесь имеем дело со случайными функциями. Задача упрощается при отсутствии деформации текучести, в частности, деформаций ползучести. В этом случае выключается из рассмотрения фактор премени.

Трстье условие, несмотря на кажущееся ограничение, касающееся только безразмерных мехапических величин, в деиствительности распространяется и на все размерные механические величины. Действительно, приняв, например, какие-либо характерные напряжения и ≈ п характерные деформации - п ≈ в каких-либо сходственных точках, мы можем ввести безразмерные величины $\frac{\varepsilon}{\sigma_0}$ и $\frac{\varepsilon}{\sigma_0}$ также $\frac{\varepsilon}{\sigma_0}$ и $\frac{\varepsilon'}{\sigma_0}$ для всего поля напряжений и деформаций для ори-

гинала и модели. Для этих отношений также должны быть тождественными плотности распределения вероятностей.

При $3=\gamma=\eta=1$ мы получим случай простого подобия в статистическом смысле. Если еще дополнительно принять $\alpha=1$, то получим случай тождественности двух материалов в статистическом смысле.

Теперь можно привести определение статистически подобных конструкций.

Ансамбли конструкций $\{A_i\}$ и A_i , изготовленных в схойственных элементах из статистически подобных материалов M и M', при одинаковом качестве работ, называются статистически подобными.

Данное выше определение механического подобия можно существенно смягчить, отказавшись от требования о гождественности плотностей распределения вероятностей и ограничившись упрощенными интегральными характеристиками статистической тождественности. К таковым, в нервую очередь, можно отнести равенства математических ожиданий и моментов второго порядка для случайных отвлеченных механических величин сравниваемых материалов.

Имеет место следующая теоремя: Если статистически подобные ансамбли тел $\{A_i\}$ и $\{A_i\}$ загрузить подобными внешними силами, то возникшие в них напряжения, деформации, перемещения и прочие механические величины будут также статистически подобными.

Пусть заданы оба ансамбля с достаточно большим и одинаковым количеством n. Пусть вектор X_i ($i=1, 2 \cdots n$) имеет своими компопентами количественные признаки, характеризующие механические свойства экземпляра A_i на ансамбля оригиналов $\{A_i\}$. Они в основном представляют собою зависимости между деформациями и напряжениями всех элементов экземпляра А. Совокупность всех векторов X_i , характеризующих все n экземиляров ансамбля $\{A_i\}$ будем рассматривать, для компактности изложения, как пространство X. Выделим на пространства X достаточно малую область $(X, X + \Delta X)$, определяемую интервалами (X_I , $X_I + \Delta X_I$). Пусть этой области отвечакот n_1 экземпляров из ансамбля $[A_i]$. Аналогично для ансамбля $\{A_i\}$ гакже в количестве n экземиляров, определяется пространство X/H_3 определения статистического полобия обоих рассматриваемых япсамблет следует, что сходственные компоненты некторов X_i и X_i в сходственных точках различаются между собою лишь множителями подобия. Сходственная малая область в пространстве X' обозначится как (X', $X' + \Delta X'$). Пусть этой области отвечают n_1 экземиляров из ансамбля [А]). В силу закона больших чисел мы можем при достаточно большом n утверждать, по n_1 и n_1 приблизительно одинаковые числа [1] и таким образом, отбрасывая лишние экземиляры, мы можем с точностью до Δ X и Δ X' осуществить попарное сопоставление экземиляров из ансамблей $\{A_t \mid u \mid A_t\}$, в сходственных интервалах $(X, X) = \{A_t \mid u \mid A_t\}$, как уже подобных в обычном, детерминистическом смысле. Если теперь приложить к полученным попарно-подобным телам A_t и A_t подобные внешние силы, то в силу основной теоремы о подобны, деформация, напряжения, перемещения и прочее также будут подобными. Такой вывод справедлив для обоих ансамблей в целом, ввиду произвольности рассмотренного значения X. Отсюда действительно вытекает, что в результате приложения к экземилирам ансамблей $\{A_t \mid u \mid A_t\}$ внешних подобных сил, будут подобны в статистическом смысле все механические величины, что и требовалось доказать.

Возможны различные статистические характеристики для различных механических величии, но они будут тождественными для каждой механической величины в отдельности для обоях сопоставляемых ансамблей. Теорема эта придает смысл приведенным выше определениям статистического подобия материалов и конструкций из нях.

Допустим теперь, что внешняя нагрузка для оригинала является случайной функцией координят точек тела и времени. Рассмотрим серию реализации этой случайной функции. Каждая из реализаций случайной нагрузки может рассматриваться как детерминистическая функция от координят и времени. Построив подобную нагрузку для модели мы получим реализацию случайной нагрузки и для нее. Повторяя этот мысленный эксперимент со всеми возможными реализациями случайной функции нагрузок, в также над всеми сходственными экземплярами ансямблей оригиналов в моделей, в смысле изложенном в [1], приходим к утверждению, что статистически подобные случайные нагрузки для ансамблей тел [4] и (4) отличаются между собою теми же множителями подобия как и при детерминистически подобных нагрузках, в статистика их тождествения.

Область применения понятия о статистическом подобии можно существенно расширить, если рассмотреть условия статистического подобия для составных тел. Напомним, что условия подобия для составных тел в обычном смысле были рассмотрены и [2].

Положим, что тело A_I составлено на тел B_{ij} в определенном порядке и определенным способом. По принятой нами символике в упомянутой работе, составные тела A_I условимся изображать в следующей алгебранческой форме:

$$A_i = B_{i,1} + B_{i,1} + \cdots + B_{mi} + \cdots + B_{mi}.$$

Принимаем при этом самый общий случай, когда каждый засамбль $\{B_{kl}\}$ имеет свои статистические характеристики. Положим далее, что имеем ансабли $\{B_{kl}\}$, статистически подобные ансамблям $\{B_{kl}\}$, причем

все множители подобия α . β . γ . γ для всех ансамблей $\{B_{k}\}$, τ . е. при любом k, неизменямы. Если теперь экземпляры из этих ансамблей скрепить между собом в том же порядке и тем же способом, как тела B_{k} , то получим состанное тело

$$A_l = B_1 - B_2 + \cdots + B_k + \cdots + B_m$$

Возникает вопрос, являются ли теперь ансимбли $|A_i|$ и $\{A_i\}$ статистически подобиьми? На это можно ответить утвердительно. Сходственные элементы ансимблей $\{A_i\}$ и $\{A_i\}$ я янляются статистически тождественными, стало быть, статистически тождественными являются и сями инсамбли. Кроме того они и подобиы в статистическом смысле поскольку все элементы их составляющие, являются статистически подобиыми с одними и теми же иножителями подобия по условию.

На построения статистически подобных составных тел A_i и A_i следует, что их результирующие статистические характеристики могут сильно отличаться от статистических характеристик составляющих их тел. Это непосредствению вытекиет лаже из чисто формальных рассуждений прамках рассмотренных операций по отбору элементов, поскольку для A_i будут иметь место комбинации различных пероятностей истреч элементов B_{ik} с данными механическими свойствами. Их можно даже подсчитать чисто формально по правилам комбинаторики. Это различие вытекает также и из существа дела, так как механические характеристики составных тел отличаются от механических характеристик их составляющих. В связи с этим будут изменены и статистические характеристики янсамбля A_i в сравнении с таковыми для висамблен B_{kk} .

Интересно отметить, что разброс для случайных величин, отвечающих составным телам, менее нежели разброс для случайных величин их составляющих. Обстоятельство это приводит к более устойчивым прочностным условиям для статистически-неопределимого сооружения в целом, при относительно большем разбросе таковых для их элементов. Полученные здесь выводы могут быть постаными для изучения на моделях статистических характеристик сооружений в натуре-

§ 4. Статистическое подобие при динамических процессах

Динамическое состояние системы отличиется от статистического тем, что дополнительно рассматривается сила инерция. Поэтому для обеспечения статистического полобия динамических процессов необходимо лишь одно дополнительное условие, касающееся распределения плотностей в подобных телах. Простейшее условие это обеспечение детерминистического условия э'— ср. р — const по всех сходственных точках обоих подобных и л в статистическом смысле. Можно пойти ин дальнейшее усложнение определения подобия в статистическом смысле для динамических процессов, допуская полможность флуктуации иначений в в некоторых пределах.

Статистическое подобие динамических процессов удобиее исего описывать с помощью случайных функций, теория которых особенно хорошо разработана для линейных стационарных процессов. Следует подчеркнуть, что все результаты теории подобия автоматически перевосятся и на случай подобия в статистическом смысле.

Издоженная теория открывает возможность установления статистических свойсть однотипных натурных сооружений путом исследования статистических свойств их моделет, что является по-видимому единственной возможностью исследования таких свойств крупных объектов,

Ниститут геофилики и инженерной сейсмологии АН Армянской ССР

Поступнаю 45.IX.1962

U. S. MERRITOR,

Պիտ» ՄԱՐՄԻՆՆԵՐԻ ՄԵԽԱՆԵԿԱԿԱՆ ՆՄԱՆՈՒՐՅԱՆ Եվ ՇԻԵԱՐԱՐԱԿԱՆ ԿՈՆՍՏՐՈՒԿՅԼԱՆԵՐԻ ՈՒ ԿԱՌՈՒՑՎԱԾՔԵԵՐԻ ՍԵՅԱՍԱԿԱՑՈՒՆՈՒԹՅԱՆ ՄԵՀ ՆՐԱ ԿԵՐԱԳՄԱՆ ՄԱՍԻՆ

Jungarquad 6

Undergrapher of

Units Sugared all playinglatud dhad playing I Sugared Sound <u> Հրատարակված աշխատանքին վերարերոց հեղինակի ուսուննասիրութելան նոր</u> արդյուն ընհրդ նվիլակած նեսնութերան ահասելականը միճակադրական հասկացու դուխլումը։ Տրված է պարդ Նմանաւթյան միճակադրական հասկացողությամբ ընտրոշումը։ Յուլց է արդամ․ որ օրիդինայի և մոդելի նյունքը միանման կեushperst upung Suturan pepura majakanfilara sandan araspunthina te upujhan ուրու թեւթի տարու կառարույի և բկրոսչափական պարտանեարները, որոնդ բնաւթագրում են նրանց ոչ միաստրրությունը արտանալավի և մասջաալավ։ Միայն այս պարժանի ապահովժան դեպրում Տնարավոր է իսուր տալ ժառչատրային։ է ֆեկտից։ Արտանդից Հետևում է այրակտիկայի համար կարևոր մի հղթակադուխիուն, այն է՝ մայելի համար վերցվող ստուրման նմուշները պետք է տարրերվեն օրիդինայի համար վերցվող ստուցման նմուշներից գանգամ։ Ցույց է արված դեպքերից մեկը, երբ այս պահանօր հնարավոր է մեպմացներ - արևակագրական առումով անալակունի անանությունը ամենաբարագրա նուր գետլըում։ Ապագուրված է Տևանլալ Թևորևման՝ եխև վիճակադրականո- րեն իրուր եման մարմինների անտամրդը 🗼 և 🔝 բեռնավորվեն իրաբ ունան արտարին ուժերով, ապա նրանդում տուաջացող յարումները, դեֆորմացիանիրը, անդափոխումները և այլ մեխանիկական մեծությունները նունայես կլինեն վիճակագրական տեսակետից իրար նման։

-իշվուծ թեորեման հեշտությունը կարող է տարածվել նաև պատահական թեմնավորուժների դեպքի վրա. որի համար պահանօվում է միայն, սրպեսդի թեմնավորուժները իրարից տարրերվեն անտնության միանման բաղմապատ փոս - նրանց մոտ լինի միանման վիճակագրություն։ Թևորեման տարածվում է նաև կազմովի մարմինների վրա, միայն ին նրանց միատիպ տարրեըր պետք է լինեն իրաբ նման՝ նմանուխյան միանման բաղմապատկիչների նուխյուն անաչում, իսկ վիճակագրուխյանը պետք է արտահայտի նույնուխյուն։

Շարագրված ահոությանը հարավորություն է տալիս սահմաներու միտաիպ իրական կառուցված քների վիճակագրական հատկությունները, այդ կառուցված անդի մոդելների վիճակագրական հատկությունների ուսուննասիրման միջոցով, որը հավանարար հանդիսանում է խոշոր օրլեկանների և ված հատկությունների ուսուննասիրում եղակի հաղավորությունը

ЛИТЕРАТУРА

Назаров А. Г., Известия АП Армянской ССР*, серия ТН, т. XIV, № 1, 1961.
 То-же, т. Х. № 6, 1957.

ПРИКЛАДНАЯ МЕТЕОРОЛОГИЯ

A. M. MXHTAPSHI

О БРИЗАХ В БАССЕЙНЕ ОЗЕРА СЕВАН И НЕКОТОРЫХ РЕЗУЛЬТАТАХ ИХ РАСЧЕТА ПО ФАКТИЧЕСКОМУ РАСПРЕДЕЛЕНИЮ ТЕМПЕРАТУРЫ ПОДСТИЛАЮЩЕЙ HOBEPXHOCTH

Сообщение 2

В [7] приведено решение задачи о бризовой циркуляции на основании линеаризированных уравнений гидротермодинамики.

В настоящем сообщении результаты теорин сопоставляются с данными наблюдений. Особое внимание уделяется вертикальным токам. [2, 3, 6]. Ветровому режиму оз. Серан и его изучению посвящены также [4, 5, 8, 9]. Многие вопросы освещены в [10]. Известный интерес представляет работа [1]. Сансок литературы по данному вопросу приведен в [7].

Прежде чем перейти к расчетам, кратко остановимся да полученных формулах.

§ 1. Анализ формул [7]

В [7] предполагается, что распределение температуры и влажности по подстилающей поверхности представлено в виде рядов Фурье (2.5) и (2.6). Ниже будет рассмотрен случай, когда суточный ход этих величин представлен в виде простои сипусоиды, то есть $T_n = q_n =$ $=q_a=0$, кромс T_1 и q_1 . Тогда будем иметь

$$q_0(x, y, t) = T_1(x, y_0) \sin u t,$$

$$q_0(x, y, t) = q_1'(x, y) \sin u t.$$
(1.1)

Для упрощения расчетов примем береговую линню как прямую, достаточно большой длины, гогда ин одна из величии не булет зависсть OT Y.

Рассмотрим следующие случаи:

1.
$$k = const$$
, $l = 0$;

11.
$$k = \text{const}, l = 0$$
;

III.
$$k = \text{const}, l = 0$$
:

IV.
$$k = \text{const}$$
, $l \neq 0$;

В случаях 1 и 11 ч, и 🦠 определяются выражениями (1.1); В случаях III и IV выраженнями (2,5) и (2.6) из [7].

Случай задания температуры по (1.1) назовем схематизированным, так как (2.5) [7] соответствует фактическому ее распределению. Тогда ясно, что сравнивая случан I с II и III с IV, получим влияние ускорения Кориолиса, а сравнивая I с III и II с IV легко проследить каково влияние более точного учета температуры подстилающей поперхности.

Если решения на [7], соответствующие всем четырем случаям представить в виде

$$\psi(x, z) = \sum_{n=1}^{\infty} |\psi_n(x, z)| \cos n m t + \psi_n(x, z) \sin n m t$$

где ϕ это q,u,v или попеременно, а и ϕ_0 соответствующие им коэффициенты, то расчетные формулы примут вид:

В случае 1 в силу (2.8), (2.9), (2.18), (2.19) [7]

$$b_1 = -T_1(x) e^{-a_1 x} \sin a_1 z, \qquad (1.3)$$

$$b_1 = -T_1(x) e^{-a_1 x} \cos a_1 z, \qquad (1.3)$$

$$u_1 = -\frac{1}{4kz_1^2} \frac{\partial T_1}{\partial x} e^{-a_1 x} \cos a_1 z, \qquad (1.4)$$

$$u_1 = -\frac{1}{4kz_1^2} \frac{\partial T_1}{\partial x} e^{-a_1 x} \cos a_1 z, \qquad (1.4)$$

$$v_1 = v_1 = 0, \qquad (1.4)$$

$$v_1 = \frac{1}{8kz_1^4} \frac{\partial^2 T_1}{\partial x^2} \left[e^{a_1 x} - \left[(1 - z_1 z) \cos z_1 z + c_1 z \sin z_1 z \right] \right]$$

$$B \text{ chyane II is carry } (2.8), (2.9), (3.10), (3.11), (3.12) [7], \qquad (1.5)$$

$$\frac{1}{4z_1 l} \frac{\partial T}{\partial x} \left[(\cos a_1 z - \sin a_1 z) e^{-a_1 z} - (\cos b_1 z + \sin b_1 z) e^{-b_1 z} \right]$$

$$\frac{1}{4z_1 l} \frac{\partial T}{\partial x} \left[(\cos a_1 z + \sin a_1 z) e^{-a_1 z} - (\cos b_1 z + \sin b_1 z) e^{-b_1 z} \right]$$

$$\frac{\partial T_1}{\partial x} \left[(\cos a_1 z + \sin a_1 z) e^{-a_1 z} - (\cos b_1 z + \sin b_1 z) e^{-b_1 z} \right]$$

$$\frac{\partial T_1}{\partial x} \left[(\cos a_1 z + \sin a_1 z) e^{-a_1 z} - (\cos b_1 z + \sin b_1 z) e^{-b_1 z} \right]$$

$$\frac{\partial T_1}{\partial x} \left[(\cos a_1 z + \sin a_1 z) e^{-a_1 z} - (\cos b_1 z + \sin b_1 z) e^{-b_1 z} \right]$$

$$\frac{\partial T_1}{\partial x} \left[(\cos a_1 z + \sin a_1 z) e^{-a_1 z} - (\cos b_1 z + \sin b_1 z) e^{-b_1 z} \right]$$

 $-2(\cos z, z - \sin zz)e^{-iz}$.

$$w = -\frac{\lambda}{1 + \cos b_1} \frac{\partial^2 T_1}{\partial x^2} \left| \frac{a_1}{a_2} e^{-a_1 z} \sin a_1 z + 0 - \sin b_1 z e \right| + \cos b_1 z$$

$$w = -\frac{\lambda}{4 a_1 b_1 I} \frac{\partial^2 T_1}{\partial x^2} \left| \frac{b_1}{a_2} (1 - e^{-a_1 z} \cos a_1 z) - 1 - \cos b_1 z e^{-a_1 z} \right| + 0 - \sin b_1 z$$

Решение для температуры в случае II совпадает с (1.3).

Здесь также, как и в [7], верхиие знаки. в скобках при e и верхиие выражения в последних скобках берутся при $\omega > l$, нижние— $\omega < l$.

В случае III в силу (2.8), (2.9), (2.18), (2.19) и (2.5) [7].

$$\vartheta_{n} = e^{-z_{n}z} \left(T_{n} \cos z_{n} - T_{n} \sin z_{n} z \right),$$

$$\vartheta_{n} = e^{-z_{n}z} \left(T_{n} \sin z_{n} z - T_{n} \cos z_{n} z \right),$$

$$u_{n} = \frac{i \cdot z e^{-z_{n}z}}{4k z_{n}^{2}} \left(\frac{\partial T_{n}}{\partial x} \cos z_{n} z - \frac{\partial T_{n}}{\partial x} \sin z_{n} z \right),$$

$$u_{n} = \frac{i \cdot z e^{-z_{n}z}}{4k z_{n}^{2}} \left(\frac{\partial T_{n}}{\partial x} \cos z_{n} z - \frac{\partial T_{n}}{\partial x} \sin z_{n} z \right),$$

$$\varpi_{n} = \frac{\lambda}{8k z_{n}^{4}} \left[\Delta T_{n} - e^{-z_{n}z} \left[\Delta T_{n} + \sigma_{n} z \Delta \left(T_{n} - T_{n} \right) \right] \cos z_{n} z - \left(\Delta T_{n}^{2} + \sigma_{n} z \Delta \left(T_{n} - T_{n} \right) \right) \sin z_{n} z \right],$$

$$\frac{\lambda}{8k z_{n}^{4}} \left[\Delta T_{n} - e^{-z_{n}z} \left[\Delta T_{n} - \sigma_{n} z \Delta \left(T_{n} - T_{n} \right) \right] \cos z_{n} z - \left(\Delta T_{n}^{2} + \sigma_{n} z \Delta \left(T_{n} - T_{n} \right) \right) \cos z_{n} z \right],$$

$$\frac{\lambda}{8k z_{n}^{4}} \left[\Delta T_{n} - e^{-z_{n}z} \left[\Delta T_{n} - T_{n} \right] \cos z_{n} z \right],$$

$$\frac{\lambda}{k z_{n}^{2}} \left[\Delta T_{n} - e^{-z_{n}z} \left[\Delta T_{n} - T_{n} \right] \cos z_{n} z \right],$$

$$\frac{\lambda}{k z_{n}^{2}} \left[\Delta T_{n} - e^{-z_{n}z} \left[\Delta T_{n} - T_{n} \right] \cos z_{n} z \right].$$

$$\frac{\lambda}{k z_{n}^{2}} \left[\Delta T_{n} - e^{-z_{n}z} \left[\Delta T_{n} - T_{n} \right] \cos z_{n} z \right].$$

В частности, решения (1.6) и (1.7) совпадают с (1.3) и (1.4) при $T_n = T_n = 0$, кроме $T_n \neq 0$. В случае IV в силу (2.8), (2.9), (3.10) (3.12) и (2.5) [7].

 $u_{n} = \frac{1}{4 I \sigma_{n}} \left[\frac{\partial}{\partial x} \left(T_{n} + T_{n}^{'} \right) \left(e^{-a_{n} z} \cos a_{n} z - e^{b_{n} z} \cos b_{n} z \right) + \frac{\partial}{\partial x} \left(T_{n} - T_{n} \right) \left(e^{-a_{n} z} \sin a_{n} z + e^{-a_{n} z} \sin b_{n} z \right) \right]$ $u_{n} = \frac{1}{4 I \sigma_{n}} \left[\frac{\partial}{\partial x} \left(T_{n} + T_{n} \right) \left(e^{-a_{n} z} \sin a_{n} z + e^{-a_{n} z} \sin b_{n} z \right) - \frac{\partial}{\partial x} \left(T_{n} - T_{n} \right) \left(e^{-a_{n} z} \cos a_{n} z - e^{-b_{n} z} \cos b_{n} z \right) \right] .$ $v_{n} = \frac{\lambda}{4 I \sigma_{n}} \left[\frac{\partial}{\partial x} \left(T_{n} - T_{n} \right) \left(e^{-a_{n} z} \cos a_{n} z + e^{-b_{n} z} \cos b_{n} z - 2e^{-a_{n} z} \cos a_{n} z \right) - \frac{\partial}{\partial x} \left(e^{-a_{n} z} \cos a_{n} z + e^{-b_{n} z} \cos b_{n} z - 2e^{-a_{n} z} \cos a_{n} z \right) \right] .$

$$-\frac{1}{4} (T_n + T_n) (e^{-a_n z} \sin a_n z \pm e^{-b_n z} \sin b_n z - 2e^{-b_n z} \sin a_n z)$$

$$v_n = \frac{1}{4} \frac{1}{4} z_n \left[\frac{1}{a_n} (T_n - T_n) (e^{-a_n z} \cos a_n z + e^{-b_n z} \cos b_n z - 2e^{-b_n z} \cos a_n z) + \frac{1}{a_n} (1 - e^{-a_n z} \cos a_n z + e^{-b_n z} \cos b_n z - 2e^{-b_n z} \cos a_n z) \right]$$

$$v_n = -\frac{1}{4} \frac{1}{b_n z_n} \left[\frac{1}{a_n} (1 - e^{-a_n z} \cos a_n z) - 1 + \cos b_n z e^{-b_n z} \right] - (1.9)$$

$$+ 0 - \sin b_n z$$

$$-\frac{1}{4} \frac{1}{b_n z_n} \left[\frac{b_n}{a_n} e^{-a_n z} \sin a_n z - 0 - \sin b_n z e^{-b_n z} \right] - (1.10)$$

$$+ 1 + \cos b_n z$$

$$-\frac{1}{4} \frac{1}{b_n z_n} \left[\frac{b_n}{a_n} e^{-a_n z} \sin a_n z - 0 - \sin b_n z e^{-b_n z} \right] - (1.10)$$

$$+ 1 - \cos b_n z$$

$$-\frac{1}{4} \frac{1}{b_n z_n} \left[\frac{b_n}{a_n} (1 - e^{-a_n z} \cos a_n z) - 1 + \cos b_n z e^{-b_n z} \right]$$

$$+ 0 - \sin b_n z$$

Решение для температуры в случае IV совнадает с (1.6).

Здесь как и прежде верхние знаки и выражение соответствуют случаю n = 1, нижние — n = 1.

Найдем высоты, на которых элементы бриза (температура, влажность, составляющие скорости) достигают максимального значения. Эти высоты зависят, конечно, от времени. Из (1.2) имеем

$$\frac{\partial z}{\partial z} = \sum_{n=1}^{\infty} \left(\frac{\sigma_{\pm n}}{\partial z} \Big|_{z_m} \cos n\omega t_{\oplus} + \frac{1}{z_m} \Big|_{z_m} \sin n\omega t_{\oplus} \right) = 0. \tag{1.11}$$

На этого выражения определяется высота, на которой элемент достигает максимума (обозначим ее через \mathbb{Z}_{m}) для данного фиксированного момента времени t_{Φ} .

Для случая 1 согласно (1.3) и (1.4) имеем

$$\frac{1}{1gz_1z_m + z_1z_m(1 - z_m)} \tag{1.13}$$

$$\lg \omega t_{\Phi, w} = -c\lg z_1 z_m.$$
 (1.14)

Для случая II, согласно (1.3) и (1.5) получим для температуры (1.12), п для скоростей:

$$-\frac{a_1 e}{a_1 e} - \frac{b_1 \cos b_1 z_m e}{\sin a_2 z_m - b_1 \cos b_2 z_m e}$$
(1.15)

$$\lg \omega t_{\phi/v} = \frac{a_1 e^{-1/m} \sin a_1 z_m - 2\sigma_1 e^{-\sigma_1 z_m} \sin \sigma_1 z_m + b_1 e^{-b_1 z_m} \sin b_1 z_m}{a_1 e^{-m} \cos a_1 z_m - 2\sigma_1 e^{-1/m} \cos \sigma_1 z_m + b_1 e^{-b_1 z_m} \cos b z_m},$$
(1.16)

$$ig \omega t_{\phi/\omega} = -\frac{e^{-a_1 z_m} (\cos a_1 z_m - \sin^2 a_1 z_m) - e^{-b_1 z_m} (\cos b_1 z_m + \sin b_1 z_m)}{e^{-a_1 z_m} (\cos a_1 z_m + \sin a_1 z_m) - e^{-b_1 z_m} (\cos b_1 z_m \pm \sin b_1 z_m)}.$$
(1.17)

Для случаев III и IV уравнения для определения $z_m = z_m$ (t_{ϕ}) будут иметь вид (1.11). Некоторые из этих уравнений, как например, (1.12) и (1.14), решаются аналитически, остальные можно решить графически. Задаваясь различными значениями σ_1 z_m , на основании полученных формул легко построить зависимость вида

$$\omega t_{\phi} = f(z_1 z_m). \tag{1.18}$$

По кривой (1.18), легко определить z_m .

Исходя из (1.2), можно найти момент наступления максимального значения данного элемента бриза t_m на данной фиксированной высоте z_{Φ} , из выражения:

$$\frac{\partial \psi!}{\partial t_{\perp t_{-m}}} = \sum_{n=1}^{\infty} n\omega \left[-\psi_n \left(x, z_{\psi} \right) \sin n\omega t_m + \psi_n \left(x, z_{\psi} \right) \cos n\omega t_m \right] = 0. \quad (1.19)$$

В частности, в силу (1.19) для случая І получим

$$v t_m = \sigma_1 z_{\Phi} + \pi/2, \qquad (1.20)$$

$$I_{m}/_{n} = \frac{1 - e^{-\sigma_{1}z_{\Phi}} \left[(1 + \sigma_{1}z_{\Phi})\cos\sigma_{1}z_{\Phi} + \sigma_{1}z_{\Phi}\sin\sigma_{1}z_{\Phi} \right]}{e^{-\sigma_{1}z_{\Phi}} \left[(1 + \sigma_{1}z_{\Phi})\sin\sigma_{1}z_{\Phi} - \sigma_{1}z_{\Phi}\cos\sigma_{2}z_{\Phi} \right]}$$
(1.2)

Определим угол наклона « ветра, отсчитанный от нормали к берегу у поверхности земли.

Как известно, этот угол определяется из соотношения

$$tg \alpha = \frac{\sigma}{u}$$
 (1.23)

Для случая і по (1.4), для случая ІІ по (1.5) получается неопределенность. Раскрывая ее по обычному способу, получаем $\alpha = 0$ для случая І. Для случая ІІ получаем:

$$tg \, a = \frac{a_1 - b_1}{(a_1 + b_1 - 2a_1) tg \, \omega t}, \, \phi < 30^{\circ},$$

$$tg \, a = \frac{a_1 - b_1}{-b_1 + (a_1 - 2a_1) + tg \, \omega t}, \, \phi > 0^{\circ},$$
(1.24)

где • — широта местности.

В первом случае когда $\alpha=0$ бриз дует все время по пормали к берегу, днем с озера, почью—с суши. Ветер усиливается днем, дости-

гает наибольшего значения к вечеру, затем начинает ослабевать, переходит через ноль и начинает усиливаться в обратном направлении, при этом меняется лишь величина скорости ветра, направление же остастся неизменным. Наблюдения этот вывод не подтверждают.

В случае II получено $\alpha = \alpha(t)$, т. с. с течением времени изменяется не только скорость ветря, но и его направление согласно формулям (1.24). Полученные здесь результаты совпадают с данными [6].

Поступая также как и ранее, получаем для случая III z=0, а для случая IV:

$$\mathbf{z}_{n} = \left(2 - \frac{a_{n} + b_{n}}{\sigma_{n}}\right) \frac{\partial T}{\partial x} : \mathbf{z}_{n} = \left(2 - \frac{a_{n} + b_{n}}{\sigma_{n}}\right) \frac{\partial T}{\partial x} :$$

$$\mathbf{z}_{n} = -\frac{a_{n} - b_{n}}{\sigma_{n}} \frac{\partial T}{\partial x} : \mathbf{z}_{n} = \frac{a_{n} - b_{n}}{\sigma_{n}} \frac{\partial T}{\partial x} : \boldsymbol{\omega} < 30^{\circ}. \tag{1.26}$$

$$\alpha_n = \left(2 - \frac{a}{\sigma_n}\right) \frac{\partial T_n}{\partial x} + \frac{b}{\sigma} \frac{\partial T_n}{\partial x}; \ \alpha_n = \left(2 - \frac{a}{\sigma_n}\right) \frac{\partial T_n}{\partial x} - \frac{b_n}{\sigma_n} \frac{\partial T_n}{\partial x};$$

$$\beta_n = \frac{1}{\sigma_n} \left(b_n \frac{\partial T}{\partial x} - a \frac{\partial T_n}{\partial x}\right); \ \beta_n' - \frac{1}{\sigma_n} \left(a_n \frac{\partial T}{\partial x} + b \frac{\partial T_n}{\partial x}\right); \ \varphi > 30^{-}.$$
 (1.261)

Определим момент наступления бриза из следующего условия

$$\frac{du}{dz} = 0. \tag{1.27}$$

Для случая 1, согласно (1.4) и (1.2), получим

$$\cos \omega t_0 = 0, \quad \omega t_0 = \pi_0 \tag{1.28}$$

Иначе говоря запаздывание хода ветра по отношению к температурному исзанисимо от широты составляет 6 часов [6].

Для случая II согласно (1.5), имеем

$$\omega t_0 = \pi t_2 \ \varphi < 30^\circ; \ \omega t_0 = arctg \frac{a_1}{b}; \ \varphi > 30^\circ.$$
 (1.29)

Эти результаты также сонпадают с данными [6]. Для случая III согласно (1.7), имеем

$$\sum_{n=1}^{\infty} \frac{1}{\sigma_n^2} \left(-\frac{\partial T}{\partial x} \cos n\omega \, t + \frac{\partial T_n}{\partial x} \sin n\omega \, t \right) = 0. \tag{1.30}$$

Наконец, для случая IV согласно (1.8), имеем

$$\sum_{n=1}^{\infty} (\beta_n \cos n \omega t + \beta_n \sin \omega t) = 0, \qquad (1.31)$$

причем β_n , β_n , имеют вид (1.26 для $\phi < 30$ и (1.26) при $\phi > 30$.

§ 2. Расчет бризов при синусоидальном ходе температуры поверхности (случан I и II)

Как оговорено выше, температура подстиляющей поверхности в этом случае имеет пид

$$\vartheta_{\sigma}(x,t) = T_1(x) \sin \omega t, \qquad (2.1)$$

Основной недостаток этой схемы заключается в том, что суточный ход θ_0 имеет один и тот же вид для всех x, отличается лишь амплитуда. Наблюдения не подтверждают этого. Рассмотрим схему (2.1), простую для выкладок и удобную для сравнений, Ниже будет рассмотрен случай расчета при фактическом распределении θ_0 .

Как показано в [17] из [7] $T_1(x)$ можно задать в виде гиперболического тангенса. Тогда используя наиболее характерные значения температуры поверхности воды озера Севан и суши в его бассейне, положим

$$b_0 = (2.8 + 2.2 \ th \in x) \sin \omega \ t.$$
 (2.2)

На больших расстояниях от берега (x направлена от озера в сторону суши) получается для суши = -5 С, в то время, как на центральных частях озера — ± 0.6 °С, т. е. суточная амплитуда температуры суши принята равной 10 С, а поверхности воды—1.2°С. Имея θ_0 или

$$7_1(x) = 2.8 + 2.2 th = x.$$
 (2.3)

по (1.3) и (1.4) легко вычислить соответствующие коэффициенты для случая I и по (1.3), (1.5)—для случая II. По формуле

$$\dot{y} = \cos \omega t + \sin \omega t \tag{2.4}$$

определяются элементы бриза.

При числовых расчетах примем

$$\lambda = 3.5 \cdot 10^{-2} \text{ M cek}^{-1} \text{ spad}^{-1}; k = 3.64 \text{ M}^2 \text{ cek}^{-1};$$
 $\epsilon = 10^{-4} \text{ M}^{-1}$.

Тогда по формуле (2.7) из [7] при n=1 получим $\sigma_1 = 0.316 \cdot 10^{-2}$ м⁻¹.

Необходимые для расчета величины представлены в табл. 1. Результаты расчета для случаев 1 и 11 представлены на рисунках 1—6.

На рис. 1 представлены профили; а на рис. 2—сугочный ход отклонений температуры на берегу (б) и на расстоянии 0,5 км от берега по обе его стороны—над озером (а) и над сушей (в). Для цен-

Таблица 1

Температура поверхности и ее производные для различных гочек											
6.32	-2,0	-1,0	-0,5	-0.1	-0,01	0	0,01	0,1	0,5	1,0	2,0
х, км	20	-10	-5	-1	-0.1	0	0.1	1	5	10	20
$T_1^{\circ}C$	0,68	1,20	1,78	2,58	2,78	2,80	2,82	3,02	3,82	3,88	4,92
07. 10x 164	0.15	0.99	1 73	2.18	2.20	2 20	2.20	2 18	1 73	0 62	0.15

Сугочный ход температуры подстилающей поверхности в различных пунктах в "С

 $\partial^2 T_1 / \partial x^2 10^0$ 0.299 1.410 1.600 0.436 0.044 0.0 -0.044 0.436 -1.600 -1.410

Таблица 2

х км	жар на											
	7	9	11	13	15	17	19	21	23	ŝ	3	5
-23	-0,4	-0,2	0,4	0,7	0,8	0,4	0,1	0	-0,2	-0.4	0,G	- 0,6
-0,6	-0,6	0,1	0,7	0,9	1,0	0,8	-0,1	-0,2	-0,3	-0,6	- 0.8	0,9
-0.1	-0.7	0,2	0,9	1.3	1,1	0,6	-0,1	-0.3	-0,4	-0,7	0,9	1,0
0.1	-7,4	0	8,5	13,6	13,2	9,0	-0,6	-3,8	-5,9	-7,4	- 9,6	- 9,6
10	- 5,4	4,0	13,0	15,0	15,5	5,0	-2,9	-6,5	-8,6	-9,3	-10,3	-10,4

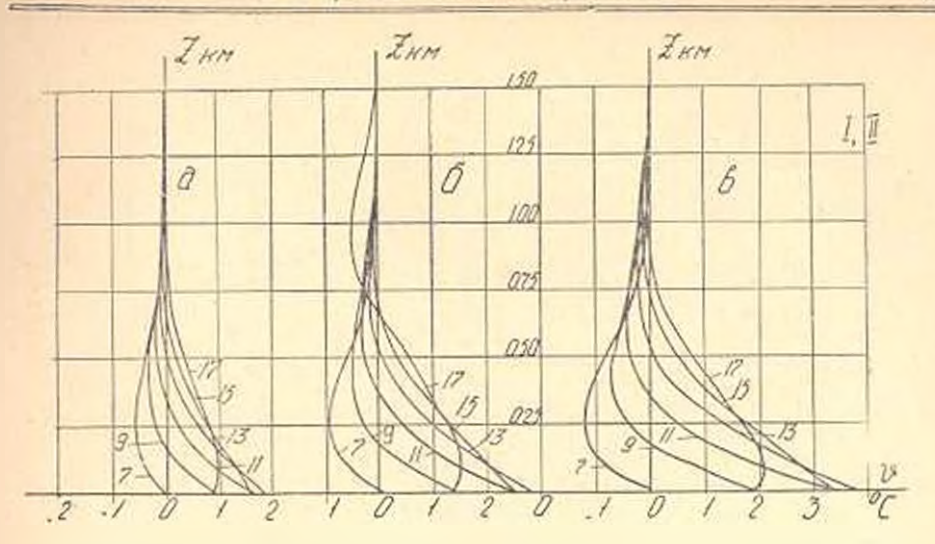


Рис. 1. Температурные кривые и различные часы суток. а-озеро: б берег: в-суша.

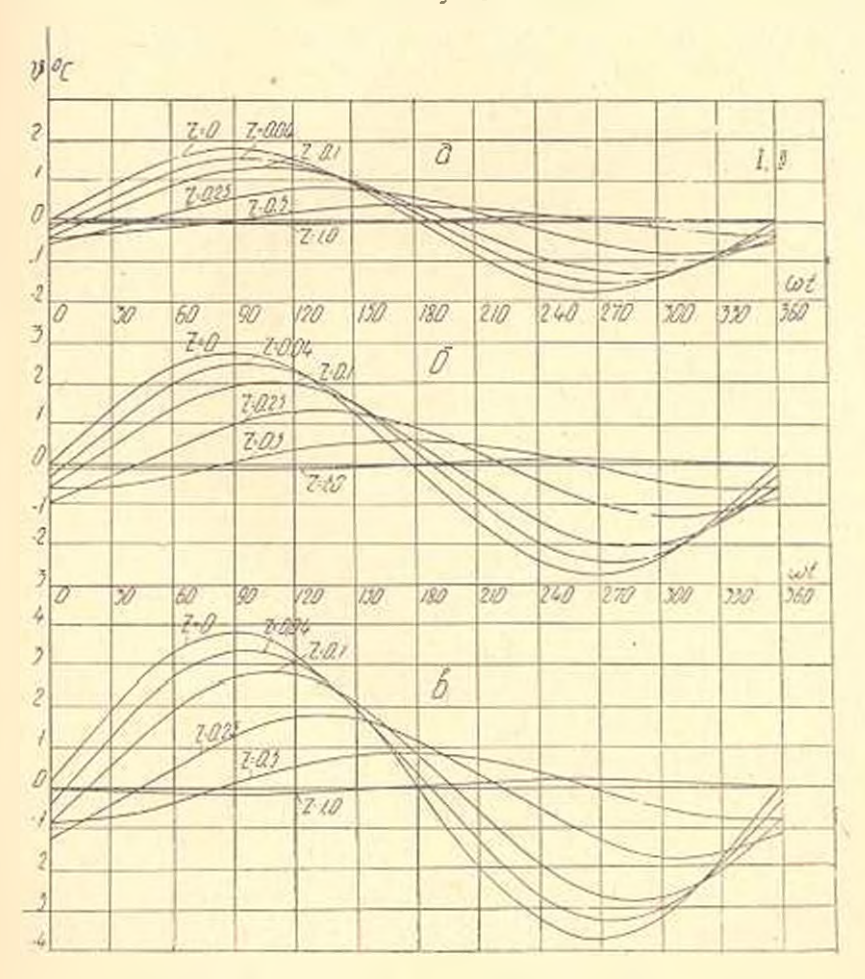


Рис. 2. Суточный ход температуры на различных высотах.

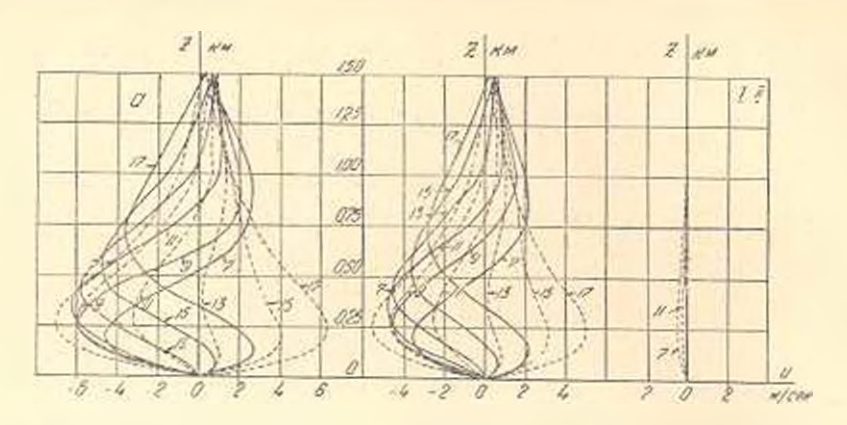


Рис 3. Профили скорости u в пунктах наблюдения Сплонные кривые при t=0; пунктирные — при $t\neq 0$.

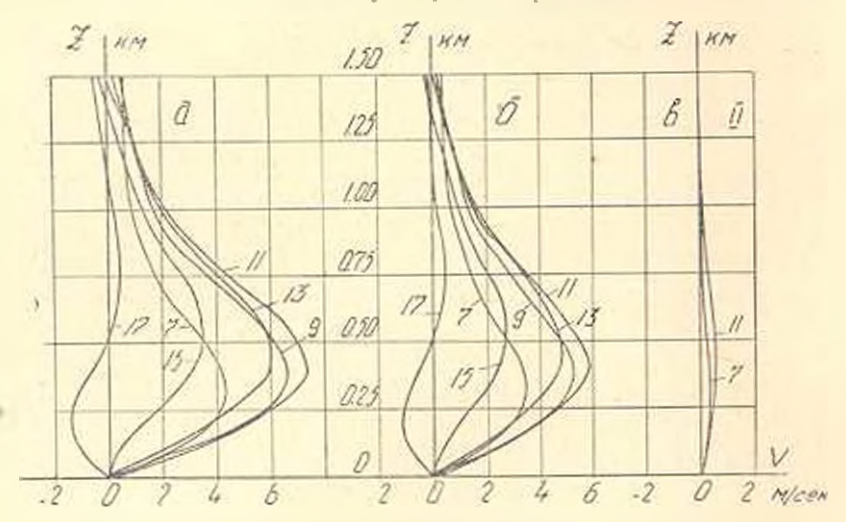


Рис. 4. Профили скорости v и пунктах наблюдения при $l \neq 0$.

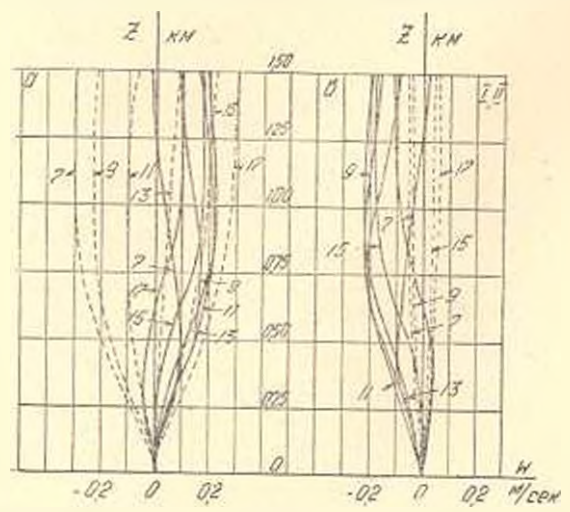


Рис. 5. Изменение вертикальных токов на различных высотах пунктов наблюдении.

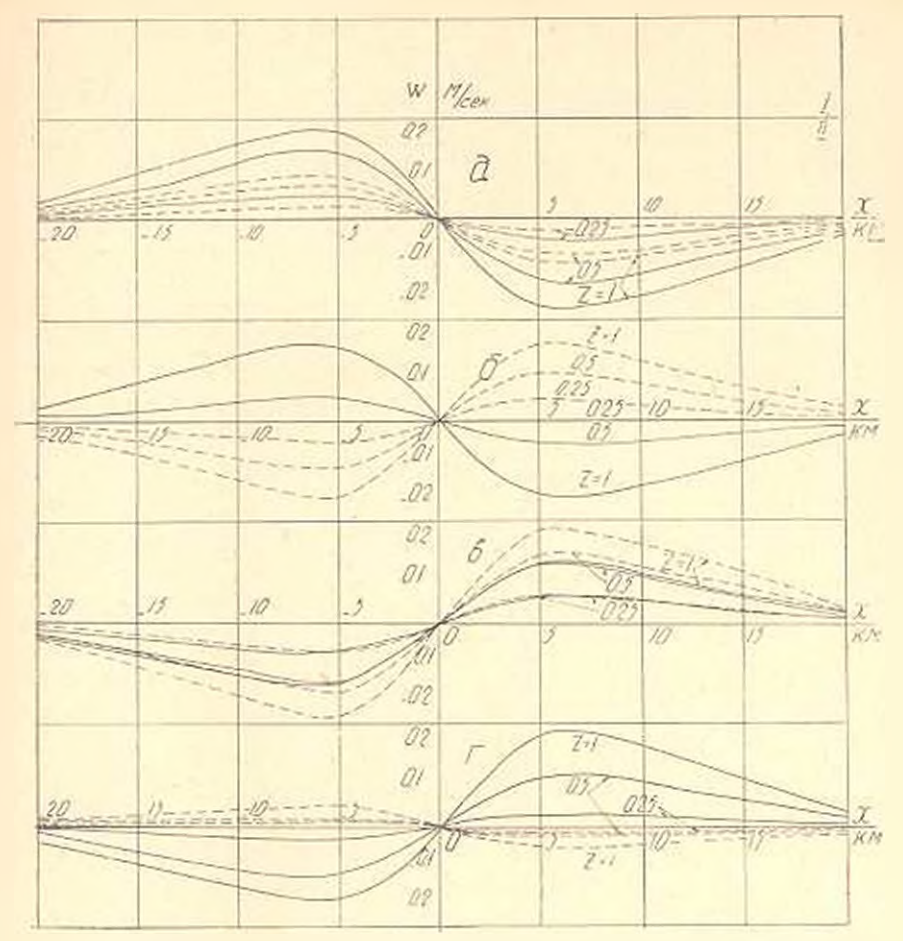


Рис. 6. Изменение пертикальных локов на различных высотах при t=0 (сплоиные лиции) и $t\neq 0$ (пунктирные лиции) в моменты премени: a=11 часов, b=15 часов, a=21 час, r=1 час ночи.

тральных частей озера графики имеют такой же вил, но со значительно меньшими амплутудами отклонения, что легко усмотреть из данных габл. 1. На рисунках 3—5 представлены профили составляющих скорости ветра в различные моменты времени, a ил рис. 6 — развитие вертикальных токов в пространстве и во времени, На графиках силошные кривые (кроме рис. 4) соответствуют случаю I = 0, а пунктирные — случаю, когда учитывается ускорение Кориолиса.

§ 3. Расчет бризов по фактическому распределению температуры подстилающей поверхности (случаи III и IV)

В рассматриваемом случае расчетная формула для любого элемента бриза описывается (1.2), причем коэффициенты определяются по (1.6) и (1.7) для случая III и (1.6), (1.8), (1.9) и (1.10)—для случая IV. Необходимо лишь знать T_n , T_1 , q_n , q_n . Перейдем к их определению.

В летнее время, в дни хорошо развитой бризовой циркуляции на оз. Севан, были организованы специальные экспедиционные работы с целью изучения трансформации воздушного потока при переходе с суши на воду и наоборот.

Были выбраны следующие иять пунктов наблюдений: суточная станция в центральной части Большого Севана, в 23 км от берега, где стоял на дрейфе катер; специально оборудованный плот, на расстоянии 0,6 км от берега; плот в прибрежной мелководной части; на суше, недалеко от берега, с растительным покровом (герритория лишь недавно вышла из-под воды озера, в связи со снижением его уровня) и, наконец, вдали от озера, на расстоянии почти 10 км от берега. Эти пункты были расположены на прямой—в створе центр озера—село Мазра.

В указанных пунктах проводились одновременные двенадцатисрочные наблюдения, по время которых измерялись температура воды, величина и направление скорости ветра, температура и влажность воздуха, фиксировалась облачность и т. д., причем каждое наблюдедение проводилось непрерывно в течение часа. В двух пунктах—на плоту и на берегу были установлены мачты, высотон 12 м, на которых были смонтированы электроконтактные анемометры на высотах 0,5; 1; 2; 4; 8; и 12 м, ноказания которых записывались самонисцами. Это давало возможность изучать распределение скорости ветра в слое до 12 м причем отдельно рассматривались профили ветра для различвых его направлений. Скорость ветра в пунктах, где не было градиентных мачт, измерялась ручным анемометром, установленным на высоте 2 м, причем ручные и электроконтактные анемометры, а также другие приборы проверялись до наблюдений.

Полученные синхронные данные температуры поверхности осреднялись с целью получения среднего суточного хода отклонений температуры при развитои бризовой циркуляции, когда другие местные ветры (фёны, горнодолинные) и общий поток мало влияли на эту циркуляцию. Полученные данные приведены в табл. 2.

Данные табл. 2 показывают, что суточный ход температуры поверхности существенно различен в различных пунктах, поэтому нельзя этот ход принимать полобным во всех точках оси x, как это сделано в случаях I и II. Здесь явно видно, во-первых, что суточная амплитуда колебаний наибольшая для сущи, идали от берега и наименьшая для центральной глубоководной части озера. Во-вторых, если максимальная температура в Мазре ($x=10^4$ м) наступает в 12—13 часов, на берегу -13-14 часов, то в центре озера—в 15 часов и позже. В остальных точках максимум наступает между 12 и 16 часами, причем это запаздывание закономерно увеличивается при движении в обратном направлении оси x. Мы задались целью определить влияние этого фактора на развитие бриза. Для этого каждая строка табл. 2 была разложена в ряд Фурье по времени, а полученные таким обра-

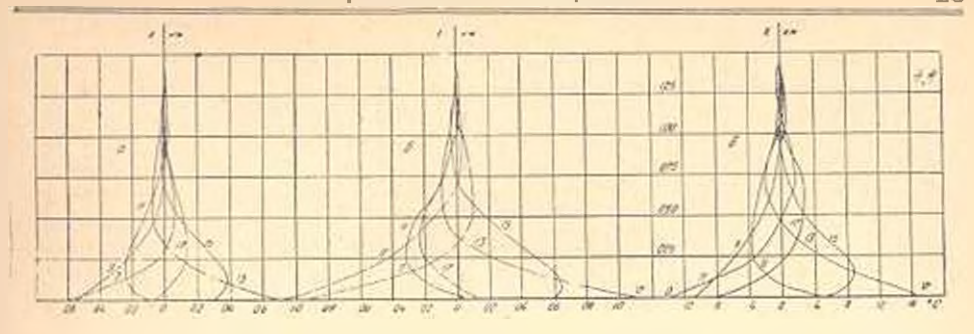


Рис. 7. Отклонения температуры в пунктах наблюдения: а озеро; б — берег; а суща.

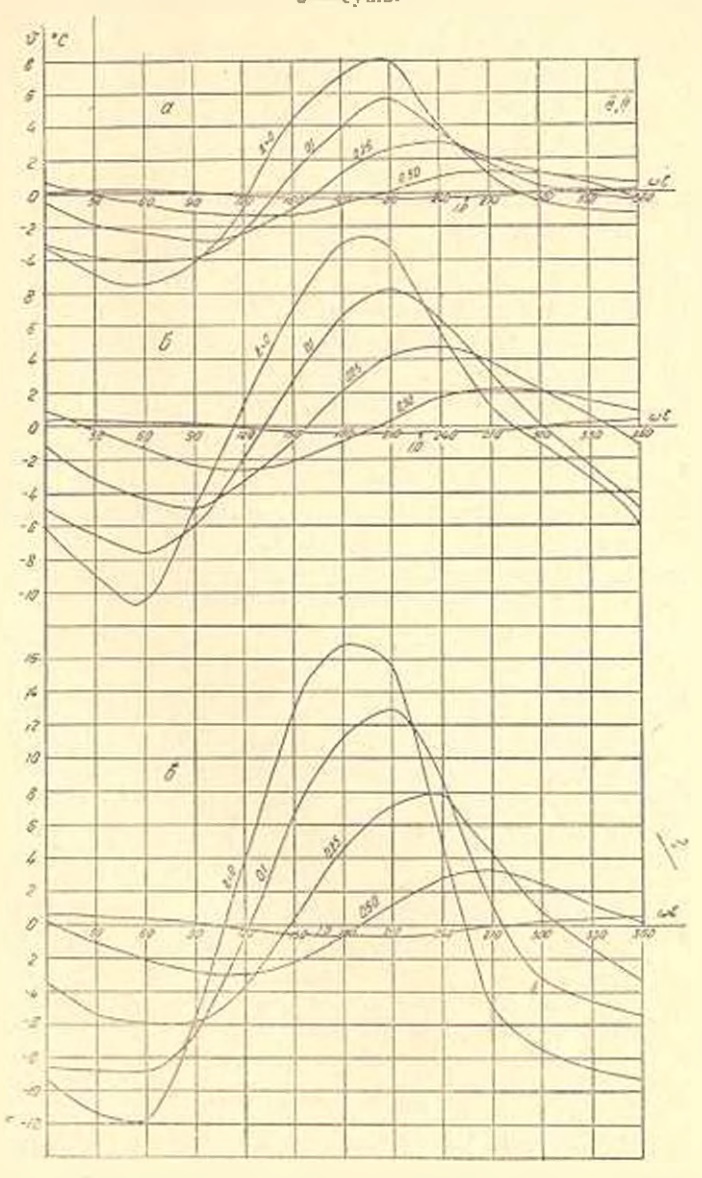


Рис. 8. Графики гемпературы на различных высотах пунктоп наблюдения.

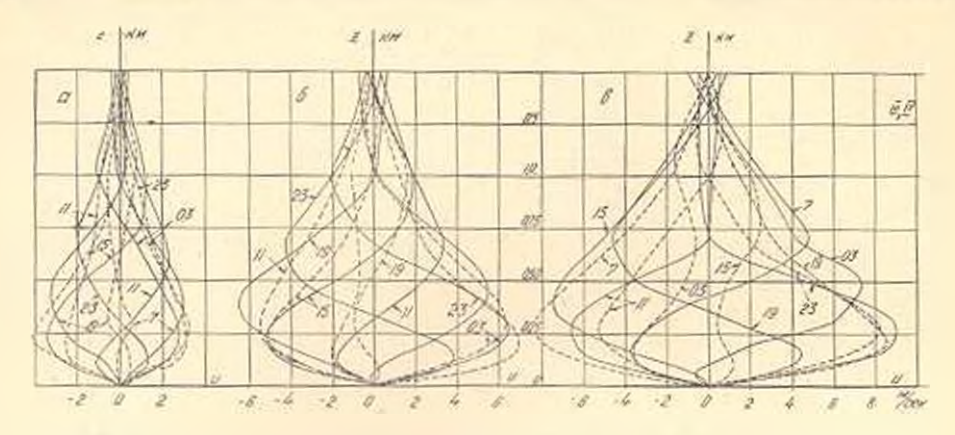


Рис. 9. Профили скорости u в пунктах заблюдения при t=0 (сплошные линии) и $t \neq 0$.

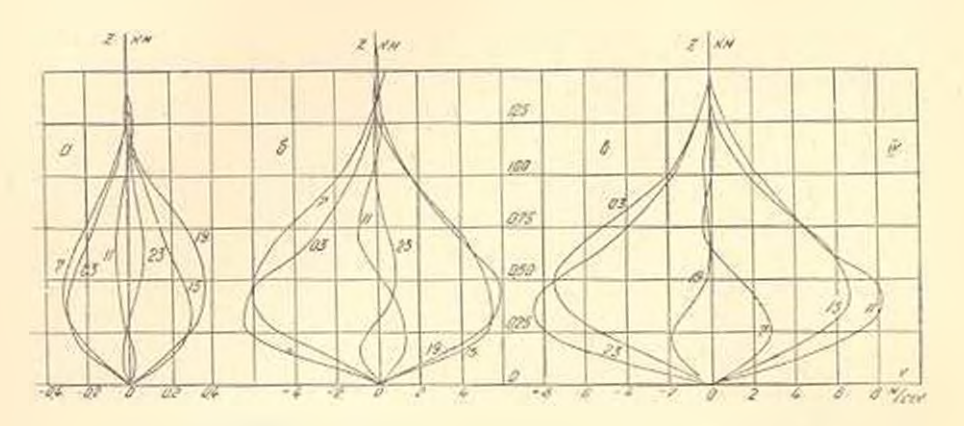


Рис. 10. Профили скорости и в пунктах наблюдения при 1 -4 0.

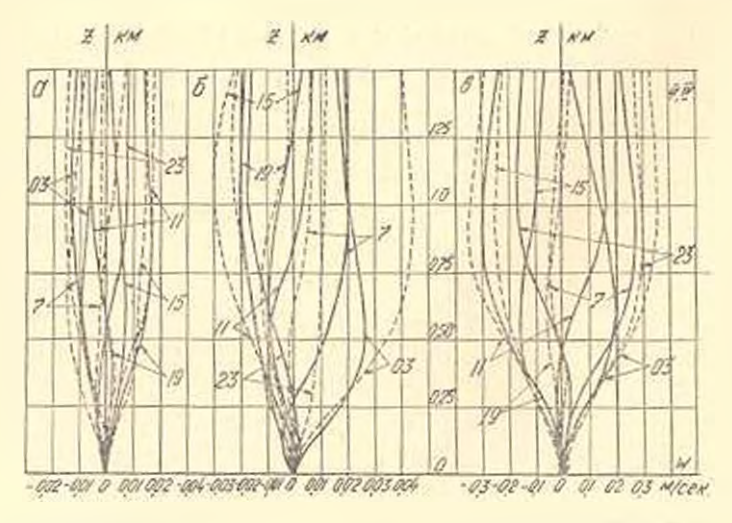


Рис. 11. Изменение вертикальных токов по высоте при t=0 (силошные линии) и $t\neq 0$.

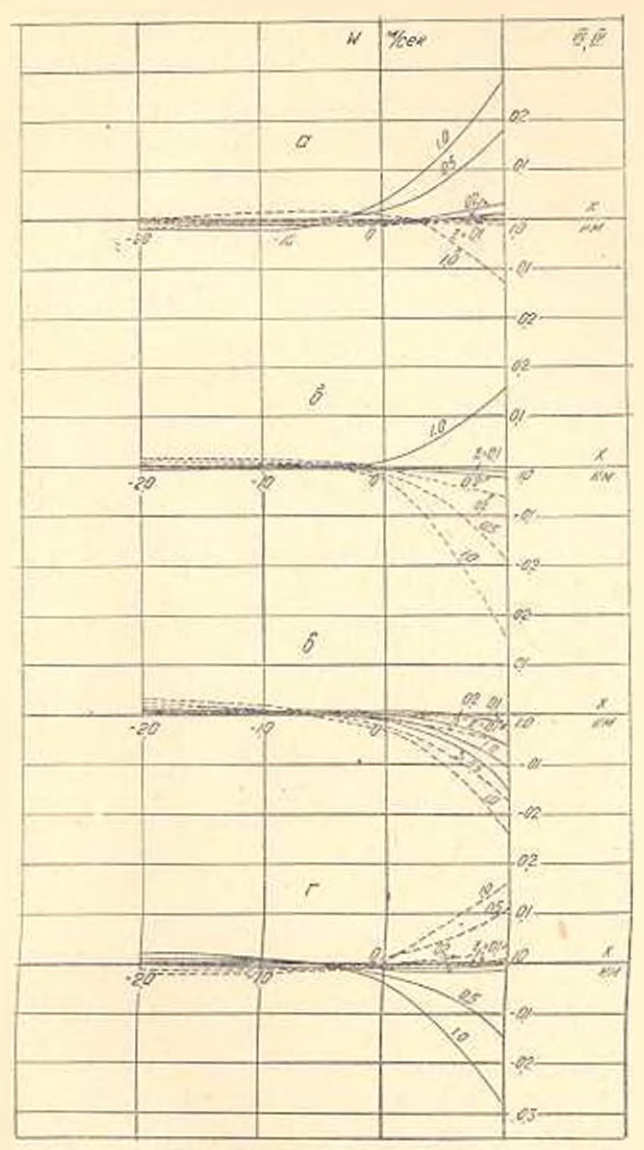


Рис. 12. Изменение вертикальных токов на различных высотах по горизоптали в моменты времени; α —11 часов; δ —15 часов; ϵ —21 час; ϵ —1 час ночи.

зом коэффициенты $T_n(x)$ и $T_n(x)$, элвисящие от x разложены в ряд по x. Для расчетов было взято n=12. Полученные результаты сводились в специальные таблины с двумя входами (n+x) и были использованы в примерах расчета, соответствующих случаям III и IV. Результаты расчетов приведены на рисунках 7-13.

§ 4. Краткий анализ полученных результатов

1. Как показывают графики на рисунках 1, 3 5, бриз охватывает слой вемногим более километровой высоты. На высотах имеется

течение обратного направления, правда с меньшими скоростями. Вертикальные токи хотя и не затухают с высотой, но обнаруживают максимум на некоторых высотах, различных и различные моменты времени. Для отрицательных значений х (над озером) картина для и повторяется как по величине, так и по направлению, в то время, когда для ж величины совпадают, а направление— обратное.

На рис. 3 и 4 хорошо видно, как бриз быстро затухает при удалении от берега. Рис. 6 показывает, что вертикальные токи изменяют свой знак над самой береговой чертой, где они обращаются в ноль.

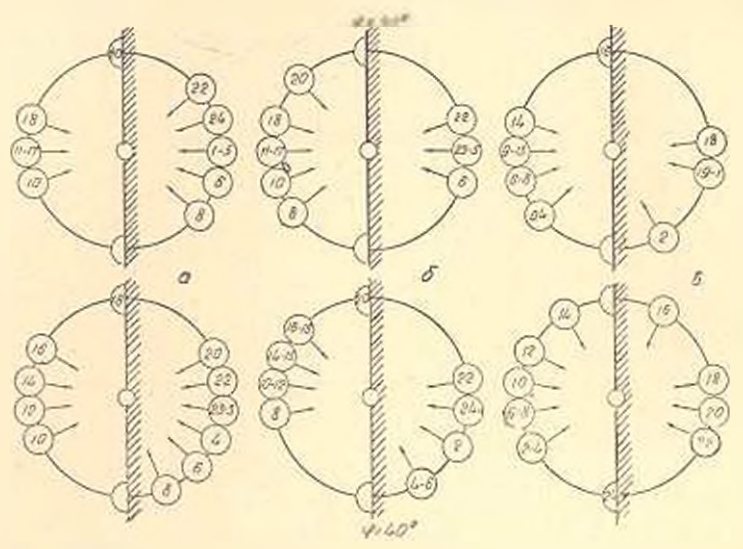


Рис. 13. Суточный ход направления ветра в пунктах наблюдения (а-озеро, 6-берет, в-суша). В кружочках указано время в часах.

2. Сравнение этих рисунков показывает, что даже в простом случае (случай I) видна роль ускорения Кориолиса. Пунктирные кривые на рис. 3, 5 и 6 и график на рис. 3 значительно более близки к действительности, чем силониые.

Появление составляющей скорости т по оси у является следствием учета ускорения Кориолиса. Пранда, и в случае і можно было получить т ≠0 за счет того, что береговая черта не прямая и производные по у отличны от пуля. Но все же поворот бриза и зависимости от времени в основном объясияется влиянием ускорения Кориолиса. Такая же картина получается и при более точном учете температуры подстилающей поверхности. В этом случае соответствие с фактическими данными значительно лучше.

- 4. Угол наклона ветра у поверхности вемли для случаев 1 и III $\alpha = 0$, для случаев II и IV этот угол определяется по (1.24) и (1.25).

5. Перепишем формулу (3.7) из [7], подставляя значение *l*. Пользуясь (2.7) из [7], получим

$$b_n = \sigma_{n,1} / \frac{2}{1 - \frac{2}{n} \sin \varphi}$$
 (4.1)

Как показывает (4.1) для всех $n \gg 2$ b_n имеет действительное значение на всех широтах. Это означает, что все волны с $n \gg 2$ с высотой затухают, кроме волны с n=2 на полюсе, где $z=90^\circ$ и $b_n=0$. При n=1 (суточная волна) $b_n=0$ при z=30. Этот результат был получен в [6] и верен лишь для волны с суточным периодом.

6. Момент наступления бриза для случая III определяется из (1.30), для случая IV—из (1.31).

Полученные формулы показывают любопытный результат. Момент наступления бриза и угол наклона ветра зависят от x. Этот результат не мог быть получен в случае i—простейшей схеме представления температуры подстилающей новерхности в виде одной синусоиды с амплитудой, зависящей от x. Расчеты показывают, что t_0 =6 часов для случая i по всей оси i в случае i бриз сначала возникает на суще, затем на озерс и на берегу почти одновременно. Для случая i i0 момент наступления бриза зависит от i0 i1 i2.

Расчеты показывают, что наплучшее совпадение с наблюдениями имеет место в случае IV. Здесь бриз возникает на суше почти на 2 часа раньше, чем на озере и еще через час он появляется на бебегу.

7. Вычисленные значения угла наклона а и случае IV представлены на рис. 13 для условий озера Севан (р −40) и по данным озера Севан, но при другой широте (р =20°). Как показывает график, явно выраженный озерный бриз имеет место с 10 до 16 часов, береговой бриз с 22 до 6 часов. Если на берсту ветер дует вдоль берега и 20 и 7 часов, то на озере ветер имеет указанное направление в 18 и 9 часов, а на суше в 15 и 24 часов.

8. Наибольший интерес представляют результаты расчетов вертикальных токов (рис. 6 и 12). Если сравнение случаев I с II (рис. 6) и
случаев III с IV (по фактической температуре, рис. 12) указывает на
влияние ускорения Кориолиса, приводящего, лишь к некоторому сдингу
картины во времени, то сравнение случаев I с III (l=0) или случаев
II с IV ($l\neq 0$) приводит к выяснению роли более точного учега температуры подстилающей поверхности. В этом последнем случае (рис. 12)
перемена знаков вертикальных токов, направленных вниз над озером и
вверх над сушей днем и, наоборот, вверх над озером и вниз над сушей
ночью, происходит не над самой береговой чертой, как это было в случаях I и II (рис. 6), а над озером. Кроме того, вертикальные токи над
сушей по величине значительно превосходят таковые над озером. Это
дает объяснение довольно интенсивному облакообразованию днем над
сушей, тогда как над озером ночью наблюдается слабое развитие об-

лаков. Этот фякт подтверждается прямыми наблюдениями в бассейне озера Севан.

9. Хотя вертикальные токи с высотой не затухают (порядок системы уравнений не позволяет налагать на них такое условие), а стремятся к некоторому пределу, все же они обнаруживают максимальные значения на конечных высотах, различных для разных моментов времени. По-видимому на этих высотах и происходит интенсивное развитие облаков.

В заключение отметим, что учет ускорения Кориолиса и более точного распределения температуры подстилающей поверхности позволяет получить ряд выводов, хорошо согласующихся с наблюдениями.

Институт водных проблем Академии наук Армянской ССР

Поступнаю 31,VII 1952

U. If. White Bestly

ՍԵՎԱՆԱ ԼՃԻ ԱՎԱԶԱՆԻ ՐՐԻԶՆԵՐԻ ՄԱՍԻՆ ԵՎ ԾԱԾԿՈՒՅԹԻ ԶԵՐՄԱՍՏԻՃԱՆԻ ԵՐԱԿԱՆ ՔԱԾԽՄԱՆ ՄԻԶՈՑՈՎ ՆՐԱՆՑ ՀԱՇՎՄԱՆ ՄԻ ՔԱՆԻ ԱՐԻՅՈՒՆՔՆԵՐԸ

(Zongnegnie 2)

Ամփոփում

Հոդվածում բերվում է լ. ում լուծված խնդրի օրինակների հաշվարկը։ Գիտարկված են հետևյալ 4 դևպքերը։ Առաջին և երկրորդ դեպքում ծածկույքի ջիրմաստիճանը արվում է (1.1) պարզ տեսքով, իսկ III և IV դեպքերում՝ Ֆությեի շարբերի տեսքով, ելնելով դիտումների արդյունքից, ընդորում I և III դեպքերում արհամարվում է Կորիոլիսի արադացումը, իսկ II և IV դեպքերում այն հաշվի է առնվում։ Հաշվարկի բանաձևերը I դեպքի համար ունեն (1.3)—(1.4) տեսքը, II-ի համար՝ (1.3), (1.5), III-ի՝ (1.6), (1.7), IV-ի՝ (1.6), (1.8)— (1.10)։ (1.11) բանաձևի միջոցով որոշվում է ժամանակի տվյալ ժոմենաի համար այն բարձրությունը, որտեղ բրիղի էլեմենաը ունի իր մեծաղույն արժեքը, (1.19)-ով՝ ժամանակի մոմենար տվյալ բարձրության համար (1.24), (1.25) բանաձևով որոշվում է բամու թերության անկյունը, իսկ (1.29), (1.30), (1.31)-ով՝ նրա ծաղման ժամկետը։

Ծածկուլքի ջիրմաստինանի (2.2) և (2.3) տեսքի դեպքում կատարված են հաշվարկներ, արդյունըները ներկայացված են ջերմաստիճանի պրոֆիլի և օրական ընթացրի համար դծ. 1 և 2-ի վրա, բաժու հորիզոնական և ուզղածիզ բաղադրիչների համար՝ 3--6-ի վրա։ Հաշվարկների արդյունքներն այն դեպքում, երբ ծածկույքի ջերմաստիճանը վերցվում է փաստական դիտումների արդյունըների հիման վրա, որոնք բերված են աղյուսակ 2-ում, ներկայացված են պծ. 7-13-ի վրա։ Արդյունըները ցույց են տալիս, որ այն դեպքում, երո իրականունիանը համաստասխան ծածկույքի ջերմաստիճանի օրական ըն-

թացթը վերցվում է տարբեր նրա տարբեր կետևրում, հնարավոր է լինում ստանալ թրիզային ցիրկուլացիայի զարդացման պրոցեսի մի շարք առանձնահատկություններ, որոնք չեն ստացվում, երբ ջերմաստիհանը տրվում է սխեմատիկ ձևով։

Վերջում բերվում են հիմնական եզրակացությունները, ըստ որոնց պարգվում է, որ Կորիոլիսի արագացման հաշվի առններ բերում է որակապես ավելի լավ արդյունըների, չնայած նրևույնի մասշտարի փոթրունյանը։

Ընդհանուր սխեմայի դեպթում իրական պատկերին շատ մոտ են ստացվում և ուղղաձիդ հոսանըները, որոնց հետ կապված են ամպառաջացման պրոդեսները։

ЛИТЕРАТУРА

- 1. Буз А. И. К вопросу о влиянии береговой линия на воздушные течения и распределение осадков. Сб. по региональной синоптике. Вып. 5, Л., 1960.
- Бурман Э А К вопросу о распределении вертикальных токов при бризах. Тр. ОГМИ, пып. 5, 1953.
- Воронцов П. А. Вертикальные движения над озсром Севан. Тр. ГГО. вып., 78, 1958.
- Воронцов П. А. Некоторые особсиности термического и ветрового режима изд озером Севан. Тр. 1110, вып. 78, 1958.
- Воронцов П. А. Температурный режим озера Севай по зарологическим исследованиям. "Результаты комплексных исследований по Севанской проблеме", т. 1, Изд. АП Армянской ССР, Ереван, 1961.
- 6. Гутман Л. Н. О структуре бризов. Тр. 11НП, вып. 8, 1948.
- Мхитарин А. М. О бризах и бассейне озера Севан и некоторые результаты их расчета по фактическому распределению температуры подстивающей поверхности. Сообщение 1. "Известия АН Армянской ССР", сер. П. № 5, 1962.
- Николаев Н. Г. Ветры в бассение опера Севан. Материалы по исследованю овера Севан, ч. 111, 1933.
- Селезнева Е. С. О происхождении местикх сенерных ветров и бассейне озера Севан. Тр. ГГО, вып. 78, 1959.
- Тимофеев М. П. (ред.) Метеорологический режим озера Сепац. Гидрометиздат. 1950.

ՀԱՅԿԱԿԱՆ ՍԵՐ ԳԻՏՈՒԹՅՈՒՆԵԵՐԻ ԱԿԱԳԵՄԻԱՅԻ ՏԵՂԵԿԱԳԻՐ **ИЗВЕСТИЯ АКАДЕМИИ НАУК АРМЯНСКОЙ ССР**

Տեխանիկական գիտուր, սեշիա XV, № 6, 1962

Серия технических наук

ГИДРОЭНЕРГЕТИКА

к. х. овсепян, а. с. мелконян

NAEL ENTIDOMENABILIECKEN HADAMETPOR LIDIT PACHETE РЕСИНХРОНИЗАЦИИ ГИДРОАГРЕГАТОВ

В ряде практически важных случаев неустановившийся режим гидрогенератора может протекать при больших отклонениях скорости вращения от синхронной. К таким режимам относятся работа генератора в фентуронном режиме, процессы ресинхронизации, самосинхроиизации и т. д.

При исследовании этих режимов из-за больших отклонений скорости вращения иногда необходимо учитывать характеристики гидротурбии и трубопровода ГЭС, так как илияние их на протекание переходного процесса более всего будет сказынаться именно при этих режимах. Режим асинхронного хода многие годы полягали недопустимым, так как считалось, что при больших скольжениях в роторе будут иметь место потери, в несколько раз превыпающие пормальные вотери на возбуждение, а момент, развиваемый синхронным генератором, при асинхронном режиме невелик.

Результаты экспериментально-теоретического изучения на большом колачестве генераторов, выполненные 11. А. Сыромятинковым, II. М. Марковичем и Л. Г. Мамиконянцем показали, что для подавляющего числа синхронных машин кратковременный аспихронный режим не представляет опасности,

В связи с этим оказалось возможным восстанавливать пормальную работу системы, оставляя вынавший из синхронизма генератор на некоторое время в асинхронном режиме. В этом смысле можно говорить, что система сохраняет результирующую устойчивость, поскольку нарушения энергоснабжения не происходит. Однако, асинхронный хол не является для оборудования системы пормальным режимом и не должен осуществляться без янализа и ныявления его допустимости. Допуская работу генератора в режиме асинхронного хода, возникшего из-за потери возбуждения или в результате нарушения устойчивости в затем восстанавливая синхроничю работу, электрические системы получают возможность уменьшить количество аварийной недодачи электроэнергин [1].

Действительно, если восле выпадения из синхронизма генератор выключить из сети, а затем вновь синхронизировать его, то в течение 20-40 ман. выпанина из синхронизма генератор не будет выдавать 3. TH., № 6

энергию в систему. Если же вынявший из синхронизма генератор не отключается от сети и кратковременно допускается работа в асинхронном режиме, то полного перерыва в выдаче электроэнергии не будет, хотя во время всинхронного хода, мощность, выдаваемая генератором, несколько уменьшится. При увеличении скорости вращения агрегата автоматические регуляторы скорости вступят в действие и уменьшат открытие направляющего аппарата. Величина нагрузки, при котором наступит новый установившийся режим, будет записеть от параметров регулятора скорости, характеристики турбины и характеристики ясинхронного момента генератора.

Среднее значение относительного электромагнитного моменти при работе тенератора в аспихронном режиме без возбуждения равно [1].

$$M = \frac{u^{2}}{2} \left[\begin{array}{cccc} ST_{d} & \underline{x_{d}} & ST_{d} \\ x_{d} & x_{d} & 1 + (ST_{d})^{2} & \overline{x_{d}} & x_{d} & 1 + (ST_{d})^{2} \end{array} \right] + \frac{1}{x_{d} x_{d}} \left[\frac{T_{q}}{1 + (ST_{d})^{2}} \right]. \tag{1}$$

Первый член этого уравнения обусловлен изменением общего вотока контуров ротора в продольной оси, второй член изменением потоков рассениия между контурами ротора по продольной оси, а трегий член обусловлен токама в контуре ротора в поперечное оси. При исследовании реснихронизации агрегата весь процесс разбивается на три этава. Первый этап — с момента началя переходного процесса до выпадения из синхронизма. Второй этап — при котором скорость пращения агрегата, пройдя после сброса нагрузки через свое максимально запчение, понизится в связи с действием регулятора скорости до величины, близкой к первоначальной. Третий этап процесс обратного втягивания в синхронизм.

Для расчета процесся ресинхронизации и наладки ресинхронизаторов очень нажно знать поведение агрегата при так называемом втором этапе, так как именно при этом выявляется влияние параметров гидромеханической части.

В статье предлагается формула для расчета изменения скольжения гидроперегата при ресинхронизации с учетом характеристик гидротурбины, ватоматического регулятора скорости жесткого трубопровода и характеристик асинхронного момента гидротурбиям.

В общем случае изменение скорости гидроперетата при асинхронпом соде определяется движущим моментом турбины, средним асинхронным моментом и собственным электромогнитным моментом

$$J\frac{du}{dt} = M_1 - (M_{ac} + M_{B}). \tag{2}$$

Момент движущих сил гидротурбним внисит от гловол скорости вращения, положения регулирующего органа и величины напора

$$M_* = f(\omega, \alpha, H).$$

Собственную электромагнитную мощность генератора принимаем зависящей от частоты, т. с. от скорости вращения

$$P_{11} = \frac{E_1}{Z_{11}} \sin \alpha_{11} = K \Delta \omega$$

чему будет соответствовать

$$M_{11} = \text{const.}$$

Характеристики аснихронного момента, как видно из (1), нелинейны и поэтому решение уравнения в общем невозможно.

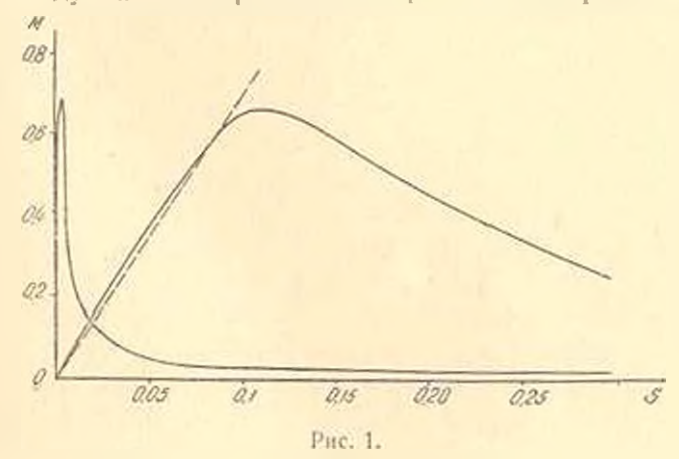
При асинхронном ходе, средния асинхронный момент гидрогеверятора будет в основном обусловлен изменением потоков рассеяния между контурами по продольной оси, так как составляющая асинхронного момента, связанная с изменением общего нотока контура ротора, имеет максимум при малых скольжениях $(0.5-0.7\%_0)$ и с увеличением скольжения быстро уменьшается, составляя $3-4\%_0$ при M_{acmax} .

Полученные характеристики асинхронного момента ряда гидрогенераторов с различными пораметрами показывают, что миксимумы этих характеристик имеют место при скольжениях $8-17^{\circ}/_{\circ}$ (в среднем $16^{\circ}/_{\circ}$).

Это дает возможность при исследовании влияния гидравлических параметров на режим ресинхронизации срединй асипхронный момент учесть только по второму члену уравнения (1) и записать уравнение момента в липеаризованном виде

$$M_{\rm ac} = K^{ac} \Delta \omega$$

где K_{uc} — определяется по восходящей ветви характеристики исинхронного моменти (рис. 1). Такое упрощение можно считать допустимым по следующим соображениям. При полном сбросе нагрузки до-



пускается временная неравномерность в пределах $30^{\rm e}/_{\rm d}$. При режимах ресинхронизации из-за наличия дополнительных моментов сопротивления $M_{\rm ac}$ и $M_{\rm B}$ скольжение гидрогенеряторов будет гораздо меньше и значение S по характеристике асинхронного момента не будет выходить за линейный участок. В большинстве практических случаев

погрениюсти, обусловленные приближенным выражением асинхронного момента, не будут иметь существенного значения.

При линеаризованной характеристике асинхронного момента уравнение агрегата можно записать в ниде [2]

$$T_s p S - b S - t := n + \frac{4a}{p}$$
 (3)

гле S, не соответственно относительные изменения оборотов, давления и открытия напрапляющего аппарата,

4 кожффициент самовыравнивания.

р – оператор дифференцирования.

Уравнение автоматического регулятора скорости с изодромом [2]

$$T_{L} = \frac{S(T_{L} p + 1)}{T_{L} z p^{2} + (T_{S} + T_{L} S) \sigma p}$$
(4)

где T_1 - постоянная изодрома,

остаточная неравномерность.

Уравнение жесткого грубопровода

$$T_1 k p \alpha = 0 ag{5}$$

где $T_{\rm r}$ — постоянная трубопровода.

k — наклон расходной характеристики.

Совместным решением уравнений ягрегата, автоматического регулятора скорости и жесткого трубопровода находим операторное выражение для определения изменения скорости

$$S_{i}(p) = \frac{a \times [T_{i} \cap p^{2} + [(T_{i} + T_{i})) + T_{i} + [p + 1])}{p^{2} + m p^{2} + n p^{2} + (1 - h) p}$$
(6)

где

$$r = 3 T_{\alpha} T_{\lambda} T_{\lambda} \tau_{\lambda},$$

$$m = T_{\alpha} \sigma \left(T_{\lambda} + T_{\alpha} \beta\right) = T_{\alpha} \left(T_{\lambda} \theta z + T_{\alpha} \tau k\right) + T_{\alpha} T_{\lambda} z,$$

$$n = T_{\alpha} \left(1 - \theta \beta \sigma\right) - \left(T_{\lambda} \theta z + T_{\alpha} \tau k\right) + \left(T_{\alpha} - T_{\lambda} \theta\right) z.$$

Характеристическое уравнение для (6) равно

$$\frac{r}{3} p^3 + m p^2 + n p + (1 + 6 k) = 0.$$
 (7)

Численное значение коэффициента самовыравнивания при асвихронном ходе доходит до 6, а иногда и более (вместо 1,0—1,5 при изолированной работе гидроагрегата), так как наклон характеристив асинхронного момента гораздо круче частотных характеристик нагрузок. При этом дискриминант кубического уравнения меньше нуля, и все три кория действительны.

Для рассматриваемого случая кории характеристического уравиевения:

$$p_1 = - \{2\cos x \mid \sqrt{|r n - m^2 - m|}.$$

$$n_{2} = \frac{1}{r} (2\cos(\varphi - 120)) \qquad \text{if } n = m^{2} \qquad m1,$$

$$n_{3} = \frac{1}{r} (2\cos(\varphi + 120)) \qquad \text{if } n = m^{2} \qquad m1,$$
(8)

THE

$$\cos 3 = \frac{m(2m^2 - 3rn) + 3r^2(1 - \theta z)}{2rn - m^2 z}.$$

Видление 3 функции S (t) находится по формуле разлажения после постиюнки значений корией характеристического уравнения и некоторых упрощений

$$S(t) = \frac{a^{3/2}}{1 - b^{2}} + \frac{T_{1}T_{1}(2\cos\varphi\sqrt{rn - m^{2}}| - m + r(T_{1} + T_{1}))}{(rn - m^{2})(4\cos^{2}\varphi + 1)}$$

$$= \frac{2\cos\varphi\sqrt{rn - m^{2}}}{r} + \frac{T_{2}T_{1}(2\cos(\varphi - 120) + 1)}{r}$$

$$= \frac{T_{2}T_{1}(2\cos(\varphi - 120))(-rn - m^{2})(-m)}{r} + \frac{T_{2}T_{1}(2\cos(\varphi - 120))(-rn - m^{2})(-m)}{r} + \frac{T_{2}T_{1}(2\cos(\varphi - 120))(-rn - m^{2})(-m)}{r}$$

$$= \frac{T_{2}T_{1}(2\cos(\varphi - 120))(-rn - m^{2})(-m)}{r} + \frac{T_{2}T_{1}(2\cos(\varphi + 120))(-rn - m^{2})(-m)}{r} + \frac{T_{2}T_{1}(2\cos(\varphi + 120))(-rn - m^{2})(-m)}{r}$$

$$= \frac{2\cos(\varphi + 120)(-rn - m^{2})(-m)}{r} + \frac{T_{2}T_{1}(2\cos(\varphi + 120))(-rn - m^{2})(-m)}{r} + \frac{T_{2}T_$$

проченная формуль для расчета изменения скорости гидроагрегата в процессе ресинхронизации удовлетворяет граничным условиям

при
$$t = 0 S(t) = 0$$
.

$$t = \infty \quad S(t) = \frac{a \lambda z}{1 - \theta z} \tag{10}$$

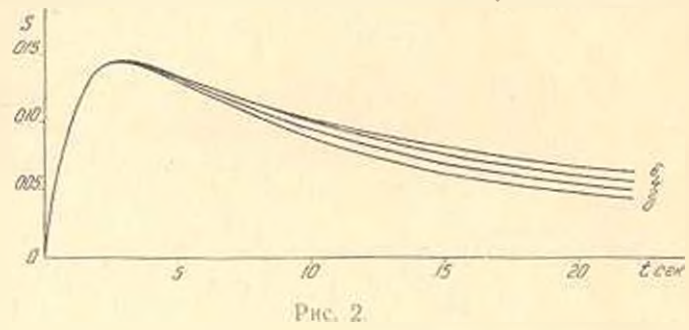
Из последнего выражения видно, что на установившееся значение отклонения угловой скорости или скольжения могут влиять существенпо остаточная перавномерность автоматического регулятора скорости а коэффициент самовыравинвания генератора. С целью выяснения няния гибкой обратной связи по формуле (9) выполнены расчеты. исчеты и внализ репультатов показали, что продолжительность переодного процесса определяется в основном первым корием p_1 , характенствического уривнения (7), который в несколько раз меньше и p_2 .

По постоянной внухания T, можно оценить влияние отдельных праметров и рассчит ть продолжительность переходного процесся по формуле:

$$\frac{1}{2\cos \circ ||rn-m^2|-m} \tag{11}$$

Ня рис. 2 показаны результаты расчета асинхронного хода гидроагрегата по параметрам динамической модели Института водных проблем АН Армянской ССР при Л. 0; 2; 4; 6;

Как вилно (рис. 2) в начальной стадии переходного процесса, и в частности, при максимальном отклонении скорости, влияние гибков



обратной связи ничтожно, так как расчетные кривые S=f(t) при различных значениях востоянного времени T_t практически не отличаются от кривой, рассчитанной при $T_t=0$. Это обстоятельство лает возможность для практических расчетов наряду с формулой (9) применять простую формулу, полученную в предположении отсутствия гибкон обратной связи. В этом случае характеристическог уравнение становится второй стенеян, я его кораи будут равны:

$$p_{z} = -\alpha + \beta,$$

$$p_{z} = -\alpha - \beta,$$

$$z = \frac{T_{z}z - T_{z}z - T_{z}z}{2 T_{z}T_{z}z}$$

$$\beta = \sqrt{\frac{1 - 0z}{T_{z}T_{z}z} - \alpha^{2}}.$$
(12)

где

Формула для расчета скольжения гидроагрегата при асинхронном ходе будет иметь вид

$$S = \frac{a \lambda z}{1 - 0 z} \left[1 - (F sh 3t - c h 3t) e^{-t} \right]$$
 (13)

где

$$F = \frac{1}{\beta} \left(\frac{1 - \theta \varepsilon}{T_{\alpha} \varepsilon} - \alpha \right) \cdot$$

В этом случае продолжительность нереходного процесса определяется по значению ж. которая является обратной величиной постоянной времени

 $T = \frac{1}{a} = -\frac{2 T_a T_s \circ}{T_a = T_s \circ 0 - T_s \circ k}.$ (14)

Наже приведены результаты расчета измерения скорости гидроагрегата ДзораГЭС при выпадении из синхронизма. Далее расчетные дагные сопоставлены с результатами экспериментов, проведенных на этой же станции.

Основные данные агрегата:

$$P = 7400 \text{ } \kappa sm; \text{ } GD = 89 \text{ } m.m^{2};$$

рабочее колесо РО 60;

$$T_0 = 6 \text{ ce}\kappa$$
; $T_1 = 0.85 \text{ ce}\kappa$; $T_2 = 3 \text{ ce}\kappa$; $T_1 = 3.2 \text{ ce}\kappa$; $T_d = 0.8 \text{ ce}\kappa$; $T_d = 0.029$; $x_d = 0.17$; $x_d = 0.10$.

По этим данным определены

$$k_1 = 172$$
 км сек; $k_2 = 50$ кгм мм; $k_n = 2750$ кг сек; $k_n = 1,2$ кгм; $k_n = -5$.

Переходный процесс рассчитан по формуле (9), я также по упрощенной формуле (13) без учета действия гибкой обратной связи. На рис. З показаны кривые переходного процесся по результатам рас-

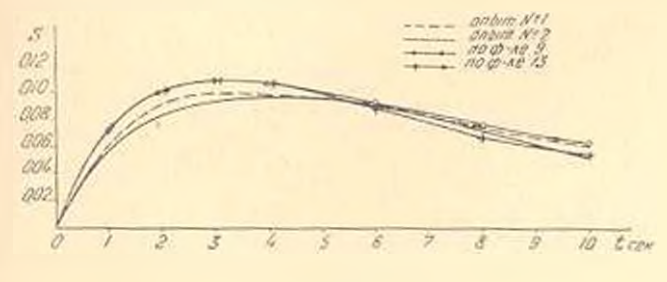


Рис. 3.

четл и по данным экспериментов. В заключение отметим, что предлагаемые формулы позволяют оценить влияние нараметров трубопроводов, гидротурбины и автоматического регулятора скорости на переходный процесс. При расчете режимов ресинхронизации максимальное отклонение скорости $S_{\text{макс}}$ можно, с достаточной для практики точностью, рассчитать по формуле (13).

Продолжительность переходного процесса с учетом гибкой обратной связи определяется коэффициентом затухания по формуле (11.

Институт водных проблем

АН Армянской ССР

Поступило 3.11.1961 г.

ս. հ. ՀովսեՓՑԱՆ Ա. Ս. ՄԵԼԵՈՒՅԱՆ

ՀԻԳՐՈՄԵԽԱՆԻԿԱԿԱՆ ՊԱՐԱՄԵՏՐԵՐԻ ՀԱՇՎԱՌՈՒՄԸ ՀԻԳՐՈԱԳՐԻԳԱՏՆԵՐԻ ՌԵՍԻՆԵՐՈՆԻԶԱՑԻԱՅԻ ՀԱՇՎՄԱՆ ԺԱՄԱՆԱԿ

Hichardenia

հետինվորոնիզացիայի պրոցհոր Նաովելու և սեսինվորոնիզատորները գորհակցելու համար անհրաժ է իմանալ հղթուտր հրատի վարջը նրա հղոն ընկնուգրում , երը պտաման արադունվունը ավելանալով անցնում է իր մութսիմուլ ուրժերով և արադության ավտոմուտիի կանոնոսվորիչը զործմա<mark>ն։</mark> Տետևանւթով իջնում է մինչն իր սկղթնական արժերը։

Եհրվա հոդվածում ուսումնասիլոլում է հիզրոագրեցատի առինիդան ըն-Թայլթը տեսինիդանից այրայի ժամանակ։

Համատեղ լուծելով հիդրոագրեցատի (3), արացույկան ավատմատ<mark>իկ</mark> կանտնավորիչի (4) և ոչ առաձգական «նչման խաղաքակաչարի (5) հավաստլունները ստացվում է հաշվային (6) ըանաձևը, որը տալիս է արագությա<mark>ն</mark> փոփոխությունը։

things win appropriate advagas to proceed a first pursuallings

եկ. 2-ում ցույց է արված ասինկորոն ընվմացրի ծաշվման արգլանյները թը Հայկական ՍՈՌ ԳԱ Ջրային պրորդեմների ինստիտուաի դինամիկ մայելի ավյալներով, արադության ավասմատիկ կոնսնավորիչի ձկան հետադարձ կապի տարբեր ծաստատուն արժելնների դեպքում։

Ինչպես երևում է այդ հայարա անցյքան պրոցեսի սկզբնական շրջանում Տետայարձ կապի ազգեցությունը մոչին է։

Արց չանգաժանքը Հարավարություն է տալիս պրակաիկ չաշվունների Նաժար առաջարկել նաև պուրզ Հոլոքույա (13), որն ուտացվում է ձկուն չեատղարձ կապի թացակայության դեպչում։

Հորքամում բերված բանաձևերը ճյարավորություն են տալիս ծաչվել ծիդրապրեզատի աբաղության վափոխման ընթացրը սինիդմարդքից դուրս ընկնելուց ձևտո ժինչև տեսինիդանիդացիան և ավելը դարդ գրոնօրել հիդրոաուրթինի խողուքակաչարի և արադության ափառքատիկ կոմանավորիչի աղդեցությանը արդ պրոցեսի վրա։

ЛИТЕРАТУРА

- Веников В. А. Электромеханические переходные процессы в электроческих системах. ГЭН, 1958.
- 2 Овсепян К. Х. О расчете сбросов и набрисов нагрузки при изодированиоп рабозе гипроагрегата . На АП Армянской ССР (серия т. и.), № 2, 1958.

Տեխնիկական գիտութ, սեշիա

Xv. N. 5, 1962

Дерез технических наук

СТРОИТЕЛЬНЫЕ КОНСТРУКЦИИ

а. б. пиралов

ИССЛЕДОВАНИЕ ТРЕХОСНО ПРЕДВАРИТЕЛЬНО НАПРЯЖЕННЫХ ОБРАЗИОВ НА ОСЕВОЕ РАСТЯЖЕНИЕ

Трехосное предварительное напряжение раскрывает возможности в отношении уменьшения собственного веса конструкций за счет увезвичения их несущей способности при относительно небольших деформациях в укругой стадии их работы [1, 2]. Прочность элементои гакого типа изучалась преимущественно на центральное сжатие [3, 4, 5, 6]. Между тем такие конструкции могут быть с успехом использованы в растянутых элементах большепролетных сооружений, что существенно сократит расход металла и бетона.

В центральной лаборатории заводской технологии Научно-исследовательского института бетона и железобетона АСиА СССР (НППЖБ) под руководством проф. В. В. Михайлова и течение ряда лет проводятся исследования трехосно предварительно напряженного железобетона. Данное исследование проведено автором статьи и этой лаборатории.

Исследования проводились на цианидрических образцах длиной 150 см диаметром 14,5 см (рис. 1). Продольное обжатие создава-

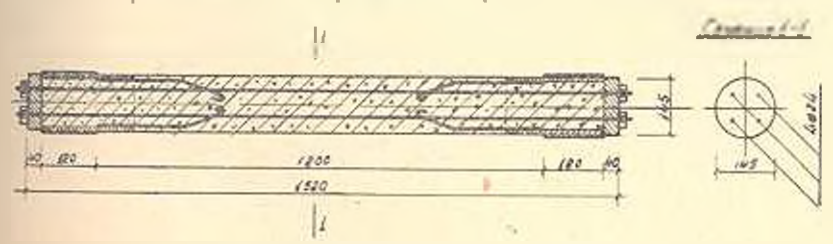


Рис. 1 Конструкция општиого образца.

нось четырьмя стержиями, диаметром 24 жм из стали марки 10 χ 10-1 5000 кг см R_u =8300 кг см-), поперечное спиралько из высокопрочной проволоки (R_u =19000 кг см-) диаметром 3 мм с шагом навижи 13 жм.

Предварительное напряжение создавалось после бетонировация. Образны изготовлялись из бетона марки "600" в металлической опалубке. Іля предотвращения сцепления с бетоном стержии перед бетонированием были смазаны маслом и обернуты калькой.

Прочностные характеристики бетона определялись на кубиках с размерами $10 \times 10 \times 10$ си и восьмерках сечением 7×7 см с призмати-

ческой частью высотой 66 см. Составы бетона, а также результаты испытания кубиков и восьмерок указаны в табл. 1.

На восьмерках определялась также деформативность бетона на растяжение тензодатчиками с базой 50 мм, которые накленвались в поперечном сечении в трех местах по высоте средней части. Предварительное напряжение в продольной арматуре принималось≈0,90 м в поперечной арматуре 0.65 №. На спеннальной установке были определены потери предварительного напряжения в арматуре от обжатия шайб, закреиляющих арматурный стержень в напряжениом состоянии, и релаксация напряжения. Потери от обоих факторов для четырех стержней составили 14300 кг. Потери от усадки и ползучести, согласно работам Г. А. Гамбарова [4], могут быть приняты равными: от усадки бетона 3·10-5, от ползучести —32·10-5 спустя 15 суток после предварительного напряжения образнов. Следовательно, величина потерь от усадки и ползучести составляла 14300 кг. Суммарная величина всех потерь на образец составляла 28600 кг.

Испытание образнов на растяжение проводилось на 300-тонной горизонтальной испытательной машине. Для закрепления образца в прессе на концах образцов были забетонированы муфты с нарезкой, на которые навинчивались специальные приспособления, закрепляемые в захватах пресса (рис. 2). Закрепленный таким образом образец

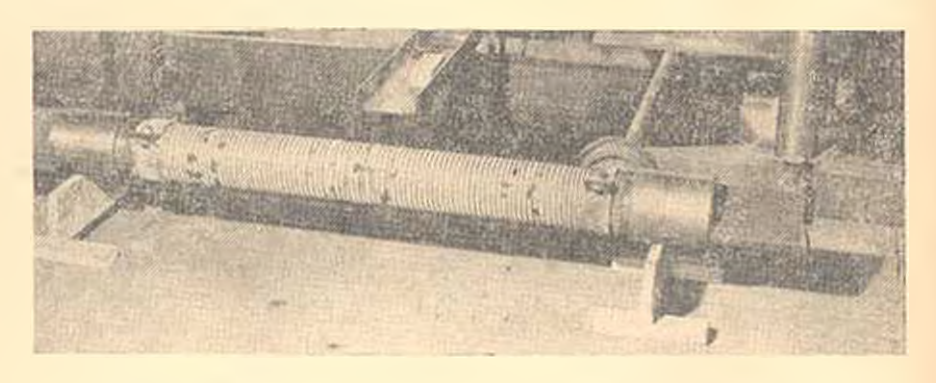


Рис. 2. Образец с приспособлениями для закрепления и прессе.

(рис. 3) подвергался растяжению на первых этапах ступенями в 10 м (68 кг см²), в на последующих 5 м (34 кг см²) валоть до разрушения. На каждом этапе деформации замерялись: продольные — с помощью пидакаторов с ценой деления 0,01 мм на базе 570 мм, а так же — рычажными гензометрами на базе 100 мм; поперечные — датчиками сопротивления. Последние наклеивались на бетои и на синральную арматуру.

На рис. 4 показаны продольные деформации, замеренные нидикаторами, а также усредненные поперечные деформации в зависимости от величины растягивающего усилия. Результаты испытания представлены в табл. 2. Как видно из табл. 2, продольное предваритель-

Характеристики конгродьных бегонных образцов

		Прочность бет	она на 28 тенъ		анор, ви вного		
Спетан бетона	Наименова- ние образ цоп	кубики 10—10×10 г.н	пересчитациая прочисеть для кубяков 20×20×20см	прочинен и и бика бика 10 10 10 см или посъмерти	пересчитанная прочность для кубикон 20 20 20 см		
Состав А. Белг гродский цем из актии- ностью 573 кг см. (565 кг); Посок с модулем крупинсти 1,8 (565 кг; Шебень известковыт, крупи. 5: 20 мм; 1130 кг). Вода194 литра	кубика	573 560 Cp ,595) 150	524	611 854 (Cp. 664) 601 725 617 577	\$85	Удобоукладываемость бетона обоих составои определялась техническим инскозиметром.	
Состав В: Цемент Брянский, активностьм 583 кг см2 (515 кг); Песок — с модудем крупноств 1.8 (565 кг) П[ебень навестковый, крупп, 5 . 20 мм (1170 кг) Вода 147 мтра	посьмерки -7 (7×66 кубики восьмерти 7 7 66	740 721 (Cp. 718) 691	632	35,6 41,2 (Cp. 36,6) 33,0 766 845 Cp. 825 862	725		

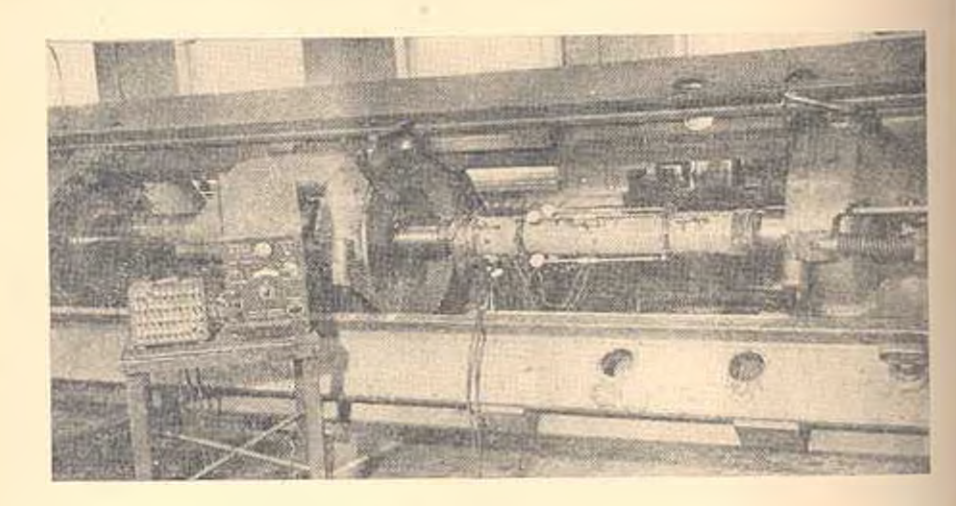


Рис. 3. Облини вид образна с измерктельными приборами в горизонтальной яены и тельном мациине.

ное напряжение образцов превышато величниу призменной прочности, что при отсутствия спирального армирования вызвало бы разрушение элемента. После испытания спираль удалялась с элементов

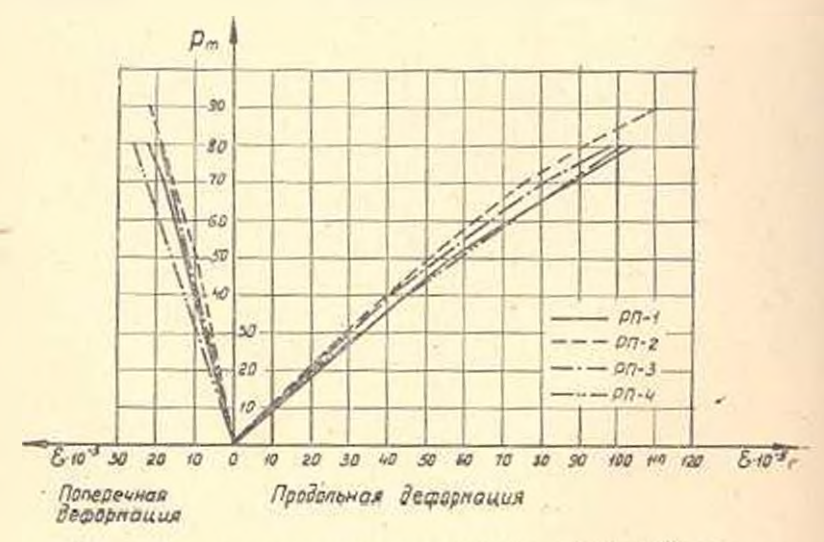


Рис. 4. Кривые продольных и поперечных деформаций образцов.

образец подвергался внешнему осмотру. Кроме разрушения в мест разрывов нарушение структуры нигде не было обнаружено.

По показанням измерительных приборов наростапие деформаци растяжения по длине образца происходило с различной интенси ностью. В местах максимальных деформаций образовывались трещи ны, по которым в дальнейшем и разрушались образцы.

Результаты испытания предварительно напряженных желелобетопных образцов на центральное растижение

		Прел	варятельн	ое папряв	сение обра	RUDE		Ho	явленн	te Tper	ции по,	т нагру	зжой	- Hod	
	В момент создания предварительного напряжения				У станопившееся предвари- гельнее папряжени€			Усилия			Леформации 10-5		SKa.		
Марка образцоп	Усилие Деформация 10 ⁻⁵		Усилие Деформа- ция* 10-3		7 12 12 14				אקווגוו פו הפובפמה מ	Примечание					
	CHAN AZ	напряженне кт с.м	Kenato; oda	S	CH23 KT	H II GI H	венчеогоди	CHID ES	усилис воспрани маемос лрмиту- рой ж2	VCHANE NOUN Macyoe Gero	инрижение растяжения кг 'см	npo bilwe	полеречные	Разрушаюмая числения по ности де	
PH 1 PH + 2	81000 85500	550 582	111 126	20 26	52000 56500	353 381	76 91	800.00 90000		4000 6000	27,2 40,8	103	22 23	160000 160000	Бегон со- стапа А
PH-3 PH-4	75000 75000	508 50%	116 118	17	464(N) 464(N)	315 315	81 83	80000			31,0 27,2	98 100	9 26	160000 1 160000 1	Бетон со- става Б

Деформации потеры пол шайбама не учитили исы, так как они змерялисы после гередачи усилия ил шайбы.

Деформации растяжения бетона, как уже отмечалось выше, замерялись на бетонных восьмерках. Предельные деформации образцов замерить не удалось, так как разрыв происходил и сечении, где не было установлено приборов. По замеренным продольным деформациям грехосно предварительно напряженных образцов растяжимость бетона составияла (17—27) 10—2, что, как и следовало ожидать, соответствует средней растяжимости, полученной на бетонных восьмерках. Как видно из соответствующей графы табл. 2, бетон воспринимал растягивающие напряжения 27,2—40,8 кг/см², что находится в пределах величин, полученных при испытании бетонных восьмерок. Разброс составляет от —21 до ÷24°/₀.

Картина распределения усилий в бетоне и арматуре трехосно предварительно напряженного образка при продольном растяжении представлена на рис. 5. На оси $P_{\rm мгв.}$ отложено усилие предваритель-

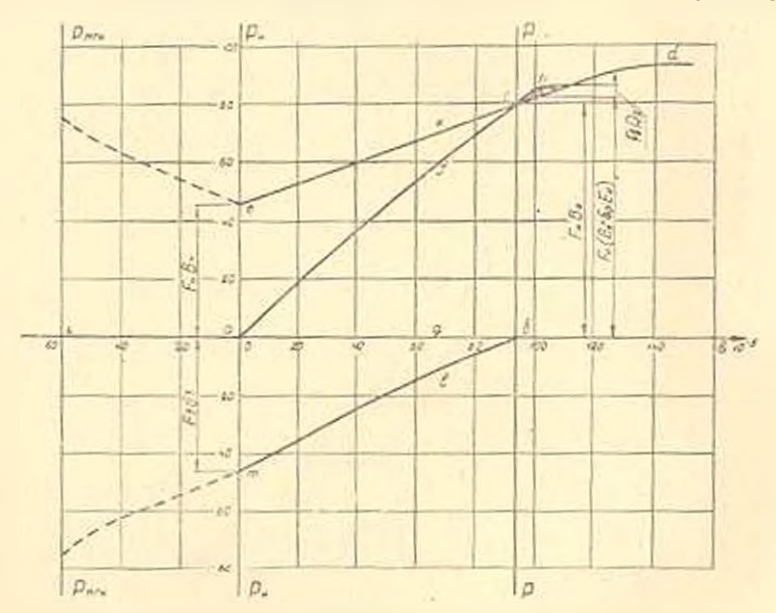


Рис. 5. Крипые распределении усилий в обраще РН 3.

ного напряжения арматуры и сжатие бетопа до появления потерь предварительного напряжения. Усилие, действующее в арматуре и бетоне после всех потерь предварительного напряжения перед приложением пиешией нагрузки, отложено по оси $P_{\rm m}$.

За начальное состояние удобно принимить такое сочетание висиних усилий, когди в бетоне имеется пулевое напряжение, показанное на графике линией P-P. Эту ось и назовем главной осью координат, В этом состоянии вст усилие предварительного напряжения элемента, деиствующее в арматуре, уравновешивается внешней силоп $P=F_n\cdot z_0$. При удалении внешней силы происходит уменьшение величины предварительного напряжения до вели плам $P_n=F_n\cdot z_0$ при этом сжимающее напряжение в бетоне равно $F_1\cdot z_0$.

При отсутствии внешней растягивающей силы, усилие растяжения в арматуре уравновешивается усилием сжатого бетона. При приложении к элементу растягивающей силы усилие в арматуре увеличивается по прямой ec, а в бетоне убывает по ac. Нетрудно видеть, что линия ec более пологая, чем ac, следовательно, уменьшение усилия в бетоне происходит более быстро, чем увеличение напряжения в арматуре. В любой точке нагрузки P_I , вызывающей деформацию ag, внешнее усилие воспринимаемое арматурой за вычетом усилия в бетоне

В виду раненства
$$f = g f + f x - g f$$

 $P_f = g f$,

т. е. в период разгрузки элемента от предварительного напряжения вся внешняя сила P_f воспринимается полностью предварительно напряженной арматуров. Как вилно из графика, восприятие внешней на грузки на участке ac происходит по более крутому наклону, по сравнению с наклоном ec, характеризующим работу арматуры. Тангенс угла наклона прямой ac проф. В. В. Михайловым назван модулем восприятия нагрузки или условным модулем упругости.

Нагрузка при грещинообразовании будет равка:

$$P_s = F_{\pi} \left(\sigma_0 - \varepsilon_p \cdot E_o \right) + F \cdot R_p$$

и соответствующая относительная деформация

$$z-z_n+z_p=\frac{c}{c_{\rm NC}}+z_0\;.$$

После разгрузки бетона вилоть до разрушения вся внениям сила воспринимается только арматурой при больших деформациях и интенсивном раскрытии трещии.

Результаты испытания показывают, что при сообщении бетону предварительного обжатия, значительно превышающего его призменную прочность заметных структурных изменений бетона не происходит, а поперечное обжатие спиралью не понижает сопротивляемости бетона продольному растяжению. Тем самым подтверждается эффективность предварительного трехосного обжатия бетона в растянутых железобетонных элементах.

Армянский НИП строительных материалов и сооружений

Поступило 19.IV, 1962

W. E. SHPRADE

ԵՌԱՌԱՆՑՔ ՆԱԽԱԱՐՎԱԾ ՆՄՈՒՇՆԵՐԻ ԱՌԱՆՑՔԱՅԻՆ ՉԳՄԱՆ ՈՒՍՈՒՄԵԱՍԻՐՈՒԹՅՈՒԵԸ

Ուսումնատիրա կատարված է 11,5 ոժ արաժաղծով և 150 ոժ Երկարության ունեցող բևառնե դատարի նժուշների վրա։ Երկայնական սեղմումը ստեղծվում է 40\ մարկայի պարգատե 24 մմ արամադիծ աներդ չորս ձողեթի օգնութքյամբ։ Բնդյունական ռեղմումը՝ 3 մմ տրամադիծ անհ յող բարձրամուր (R_e 19000 կց ոմ²) լարի պարուրով, որի փախույթի քայր 13 մմ է։

Ուսումնասիրութելան արդյունըները ցույց են տալիս, որ բետոնում նաիսադես լարվածութելան ստեղծումը երբ անդամ վերջինու անցնում է ընտան պրիցմալական ամրութելանից, բետոնի ստրուկոուրայի մեջ ասանձնակի փոփոխութելան չի մացնում, իսկ որարութի միջոցով ընդլանակ սեղմումը չի պակասեղնում բետոնի ձրժան ամրութելունը։ Այսպիսով աստատվում է, որ երկաթերնանն ձրվող էլեմենաննիում բետոնի հոստունցը նախալարվածութելան ստեղծումը էնիկաիվ եղանակ է։

Յույց է արվուծ, որ նախուպես բարվածության դեպբում ամբանը մինչև բեսանի բեսնախափման սա մանը իր վրա է վերցնում բեսան այնպիսի չափ. որը համապատասխանում պողմատի առաձգականության պարմանական մորույի որեն բին։

ЛИГЕРАТУРА

- В. В. Михайлов, Г. А. Галебаров. Трехосно предварительно напряженные желеюбегонные элементы и область их применения в строительстве. Давести АСнА СССР⁺, № 3, 1961.
- 7 Г. А Гамбаров. Иссленование спирально армированных предварительно напряженных элементов для сборных стержневых конструкций. Тр. НИИЖБ АСнА СССР, вып. 27, 1962.
- О. Н. Алперина. Исследование сжатых железобетонных элементов с поперечным армированием. Тр. ВНИИ гранспортного строительства. Вып. 36, М., 1960.
- Г. А. Гамбаров. Центрально сжатые спирально армированные предварительно напряженные элементы. Журп. "Бетон и жедезобетон", № 1, 1961.
- Ф. Е. Гимман. Исследование индиперических колони с преднарительно напряжен нои спяральной арматурой. Тр. НИНЖБ, вып. 3, М., 1958.
- В. И. Карпинский, Ветон и предварительно напряженной спяральной обойме, Оргатрансстрой, М., 1961.

Sthe. ghange uhrhu

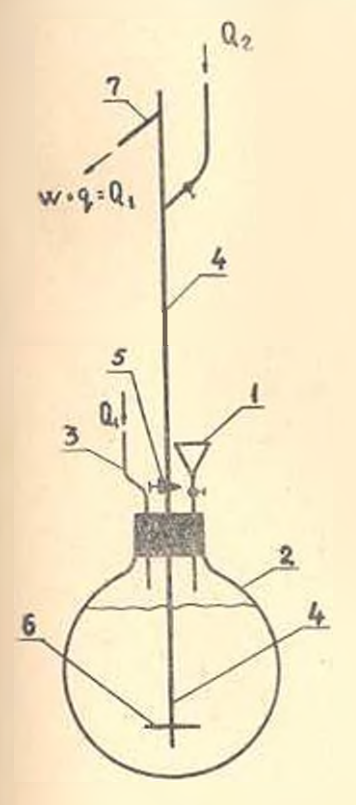
XV. № 6. 1962 Серия технических наук

ХИМИЧЕСКАЯ ТЕХНОЛОГИЯ

А. М. ГАСПАРЯН, Р. Е. АКОПЯН, Ж. А. КАЗАНЧЯН

получение двухфазного потока постоянного COCTABA

Для производственных процессов, осуществляемых в непрерывном двухфазном потоке (массообмен, теплообмен, гидротранспорт, пневмотранспорт, гравитационное обогащение, гидросепарация и г. д.) важное значение имеет постоянство состава исходной смеси во времени. Непрерывное приготовление гидро- или пэросмесей постоянного состава имсет большое значение также при проведении научно-иссле-



PRC. L.

довательских работ с двухфазным потоком. Без надежного источника строго постоянного во времени состава смеси фаз, получение стационарных потоков и режимов невозможно. В статье описывается система, обеспечивающая выполнение такой задачи и отмечениям в прежних публикациях [1, 2, 4].

На рис. 1 показана дабораторная схема такой системы. Через воронку 1 в колбу 2 загружается твердая фаза в пастообразном или сухом виде, и затем заливается жидкостью. По трубке 3 с заданной скоростью 💽 в колбу вводится жидкость, которая фильтруясь через поры осадка, заходит в монжусную трубку 4 и уходит по ней. При определенной скорости подачи, жидкость, у входа в трубку 4, вызывает исевдоожижение материала. Псендоожиженный слой, в результате наличия перепада давления, заходит в трубку и перемещается по ней. Для нормальной работы такой системы и полного опорожнения емкости 2, на конце монжусной трубы 4 надевает-

ся диск 6, с диаметром, составляющим от 1/3 до 2/3 диаметра посуди. При отсутствии диска основная масса среды фильтруется вдоль трубы 4 и поблизости ес, и результате чего вокруг трубки возникает 4. TH. № 6

воронка. Среда прорывается в трубу и нормальный процесс нару-

При монолисперсности твердой фазы, в условиях стационарности, параметры потока в трубке 4 связаны между собой ураннением [1]:

$$\varphi = \frac{v \cdot z}{v - C(u)}, \quad (1)$$

где $v = Q_*F$ — скорость движения слоя по трубке, имеющей сечение F:

 $E = W Q_1$ объемная концентрация твердой фазы (секундный расход W) в расходе слоя Q_1 : С, U — скорости стесненного падення (ССП) частиц при концентрации φ , определяемые по экспериментальным кривым, или соответственно из следующих уравнений для сферических [3] или бесформенных [5] частиц:

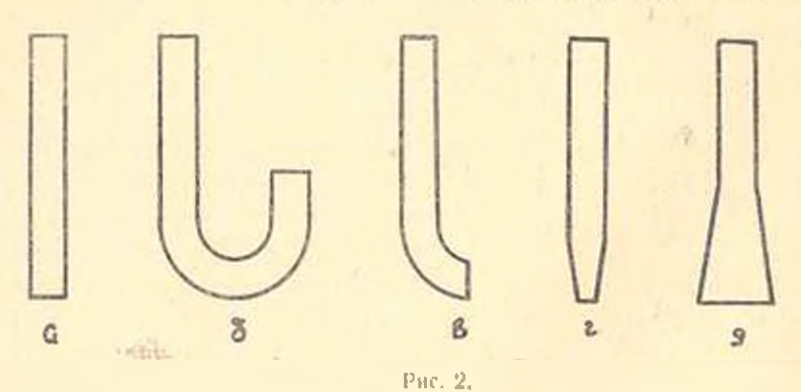
$$C = KC_n (1 - \varepsilon)^n \tag{2}$$

или

$$U = \frac{3n \cdot C_0}{a^{n_0}} (1 - 2\pi)^n, \tag{3}$$

где C_0 — скорость свободного падения сферы или эквивалентной сферы; α и β соответственно объемные коэффициенты и коэффициент формы всевдочастицы [5]. Значения K и n в зависимости от числа Рейнольдся выведены в [3].

Для данных частиц и среды, при данном диаметре трубки 4 и данных форм и направления входного участка этой трубки, концентрация с зависит только от скорости v. На рис. 2 изображено несколь-

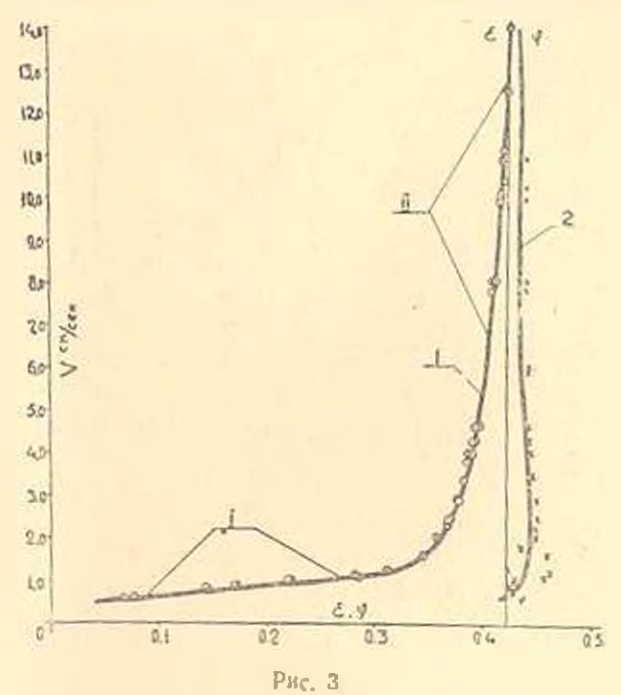


ко форм входного участка монжусной трубки, для которых описанным ниже способом была определена связь $\varepsilon = f(v)$.

После загрузки колбы 2 кварценым песком фракции -0,42 → 0,32 мм и доливки водой, через трубку 3 подавалась, со строго постоянной скоростью, вода. Взвесь из трубки 4, диаметром в 10 мм, удалялась через отвод 7. По прохождении некоторого времени, достаточного для возникновения стационарного потока в 4, из отвода 7 бралось несколько проб на определение v (по объему пробы, продолжи-

тельности ее взятия и диаметра 4). Из этих же проб отделялся песок, который сушился и взвешивался. По ним подсчитывалась концентрация €. После взятия двух-трех проб, кран 5 закрывался, прекращалась подача волы через 3, извлекался песок, находившийся в трубке 4 выше крана 5, сушился, взвешивался и исходя из известного объемя трубки вычислялась концентрация ;

На рис. 3 показаны экспериментальные значения в в зависимости от v и проведена соответствующая кривая 1. Она справедлива для слу-



чая, когда форма и направление входного участка монжусной трубы соответствовали рис. 2а. На рис. 3 крестиками показаны опытные значения концентрации φ и проведена сплошная липия 2, представляющая собой расчетные значения концентрации φ' соответствующие усредняющей кривой 1. Точки кривой 2 определялись по уравнению (1) (значение v и принимались по кривой 1) и кривой U=f(v), полученной для использованного в опыте песка (рис. 4). Путем подбора по этим кривым находили φ' . Аналогичным способом проводились опыты для остальных форм и направленности входного участка трубки 4 (рис. 2). Результаты представлены на рисунках 5-8 и сопоставлены с данными рис. 3 (тонкие сплошные липии).

В результате произведенных исследований, можно отметить следующее:

- 1. Возникающий в монжусной трубе двухфазный поток вполне хорошо описывается уравнением (1).
- 2. По схеме представленной на рис. 1 легко можно получить двухфазный поток постоянной концентрации и расходе. Постоянство

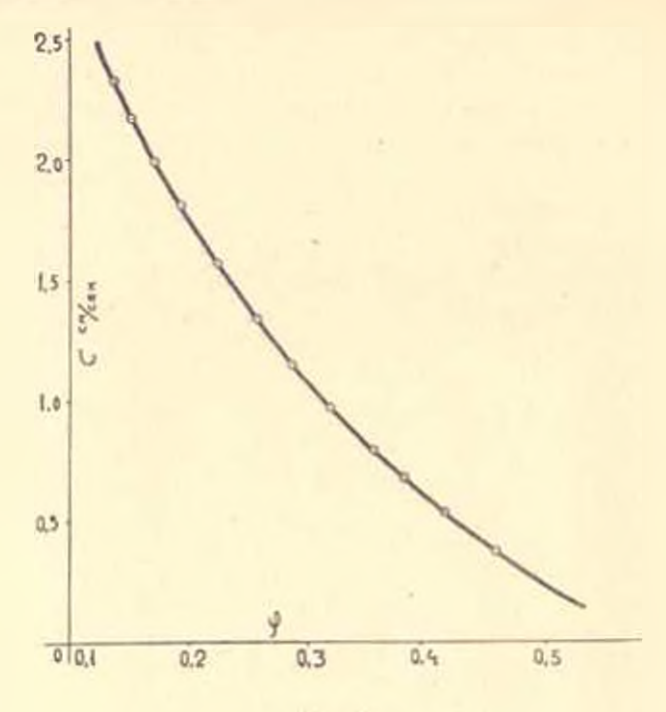
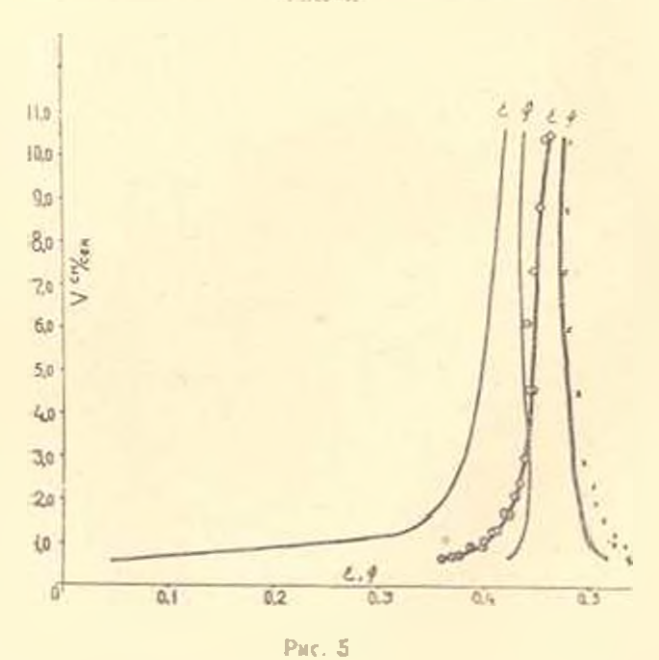
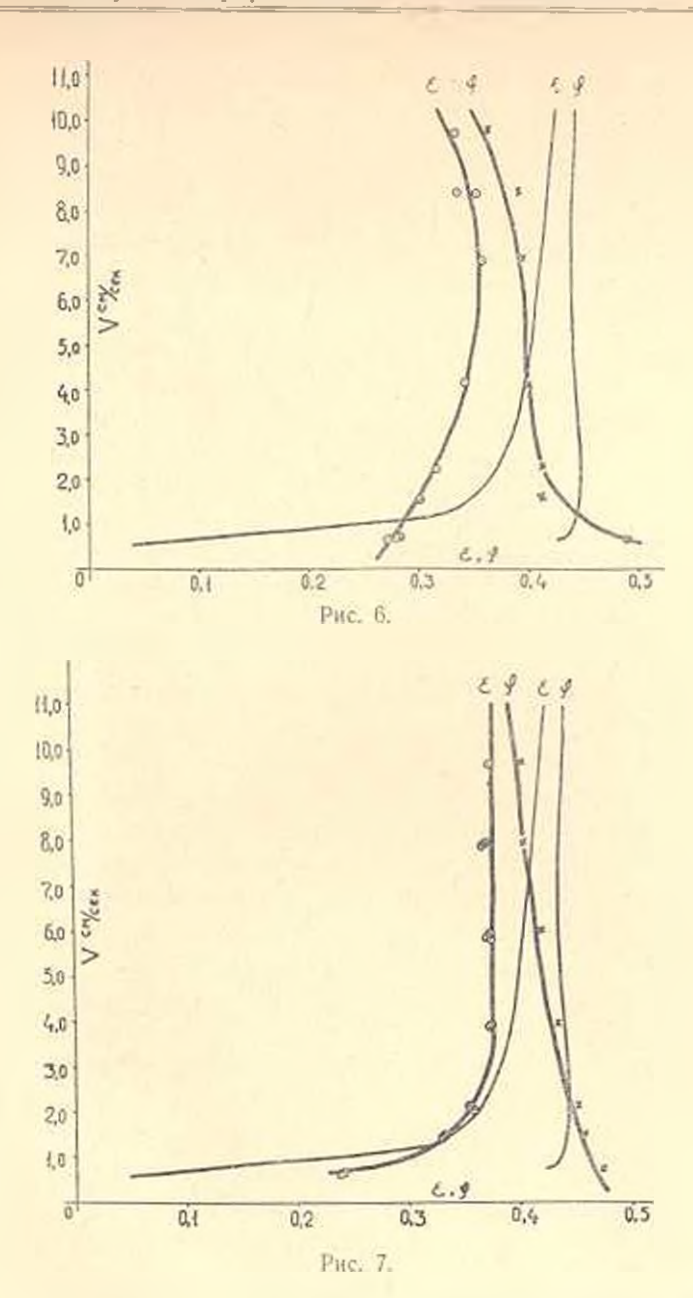


Рис. 4.

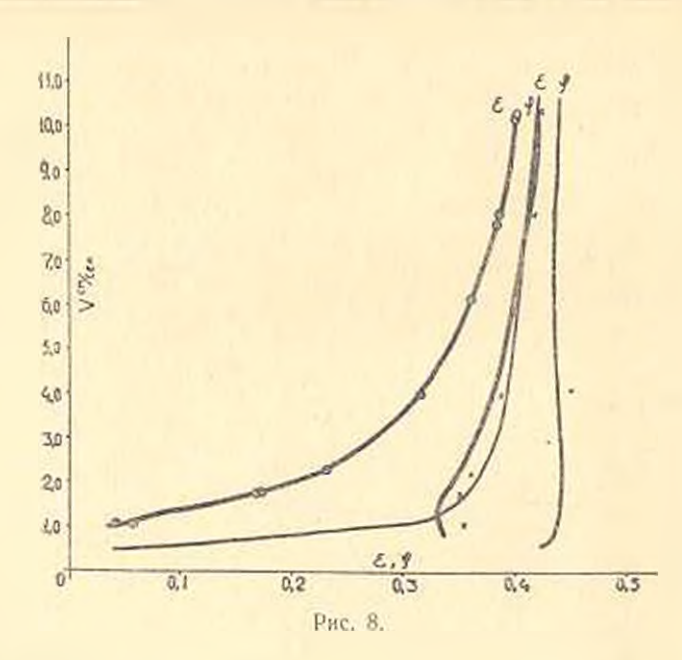


этой концентрации в обусловлено только постоянством подачи жидкости Q_1 . Концентрация в лависит также от формы и направления входного участка монжусной трубки. Наибольшие значения в получаются и случае "6" рис. 2. Однако, как установлено опытом, и этом случае не обеспечивается бесперебойная работа системы. Это обстоятельство



усутубляется при применении полидисперсной твердой фазы. Няиболее удобным и простым является случай "а", который нами испытан и успешно применен для широкого диапазона изменений: диаметра монжусной трубы (от 1,5 до 81 мм); емкости аппарата "монжуса" (от 0,5 л до 10 м^а); скорости перемешения (от долей саптиметра до 4 м/сек.); крупности частиц (от 40 до 1000 микрон); плотности среды жидкость и газ).

3. При малых значениях скорости в (см. рис. 3 ветвь 1, кривой концентрация в с ростом в растет очень быстро. Малейшее изме-



нение Q₁ (рис. 1) вызывает значительное изменение с. Во второй ветви кривой 1 наоборот, неравности в подаче жидкости Q₁ мало влияют на с. При больших же значениях вообще с перестяет зависеть от скорости. В рассматриваемом случае (рис. 3), при скорости выше 12—13 см/сек, с≈0,422. При любой крупности частиц, свойств среды и ливметра монжусной трубы существует такое значение скорости v, когда с доходит до определенного максимума и дальше с возрастанием v почти пе меняется. Исходя из этого целесообразно работать при скоростях v обеспечивающих возможно большое значение с. Это обеспечивает минимальный расход среды и максимальную производительность системы.

4. С целью получения непрерывного потока суспензии на любое длительное время, нужно спаривать две емкости 2, которые включаются в работу попеременно. Если условия работы требуют получения суспензии с малым ϵ , то любое ее значение можно получить путем последующего разбавления потока дополнительным количеством среды Q_2 как это показано на рис. 1. В этом случае уравнение (1) остается в силе, причем концентрация в расходе и скорость суспензии определяются выражениями:

$$u = W/(Q_1 + Q_2), \tag{4}$$

$$v = (Q_1 + Q_2)/F$$
. (5)

5. Из (1) и приведенных в статье рисунков видно, что концентрация ф в трубке всегда больше концентрации в расходе є. Это является результатом непрерывного отставання частиц от окружающей их жидкости. Это отставанне равно скорости стесненного падения С или U. С увеличением скорости v влияние ССП на р уменьшается и кривые 1 и 2 приближаются друг к другу. При очень больших значени-

ях скорости суспензии, когда величина ССП становится пренебрежимо малой по сравнению с v, эти две кривые сливаются, то есть $\varphi = \varepsilon$. Рисупки 3, 5, 6, 7, 8 показывают, что форма и направленность яходного участка монжусной трубы имеет сильное влияние на начальное значение ε и на ход ее изменения. В случае рис. 26, всевдоожижение материала и его проникновение в трубку 4 начинается при $\varepsilon = 0.36$. Здесь направления силы тяжести и движения среды на входном участке соппадают. Как уже указывалось (рис. 5) в этом случае значения ε и φ наибольноее и имеет место наименьший удельный расход среды на транспортирование твердой фазы. Однако, такая система очень склонна к забивкам. В случае рис. 2в иссвдоожижение и занос частиц в трубку 4 также начинается при сравнительно высоких начальных значениях ε . Однако с увеличением v концентрация ε сначала растет, а затем уменьшается (рис. 6). Участок ε = const отсутствует.

В случае суженного отверстия (рис. 2г) начальное значение в составляет 0,24 и при v=3 см/сек, достигает своего постоянного и максимального значения 0,375. Это объясияется гем, что фактические скорости среды у входа в монжусную трубу значительно больше скоростей в самой трубе (на рис. 7 указаны последние). Дальнейшее сужение входного отверстия приводит к дальнейшему уменьшению максимального значения в. Этот случай представляет интерес, если потребуется с самого пачала иметь сравнительно малое, но постоянное значение в при малых скоростях расхода.

При уширенном входном отверстии, рис. 2д, псевдоожижение происходит при больших скоростях среды (рис. 8) с малыми значениями начальной в. Тенденция к постоянству в наблюдается при сравнительно больших скоростях v. Вероятно этог случай не представляет интереса.

Институт органической химии АН Арминскон ССР

Поступило 15.Х.1962 г.

Ա. Մ. ԳԱՍՊԱՐՅԱՆ, Ռ. Ե. ՀԱԿՈՐՅԱՆ, Ժ. Հ. ՂԱԶԱՆՉՅԱՆ

ՀԱՍՏԱՏՈՒՆ ԲԱՂԱԴՐՈՒԹՅԱՆ ԵՐԿՖԱԶ ՀՈՍԱՆԺԻ ՍՏԱՑՈՒՄԸ

Undergrand

Արտադրական պրոցեսների, ինչպեսնաև դիտանետագոտական աշխատանքների համար, որոնք տարվում են երկնաց սիստենների անվագնատ հոսանքով, կարևոր նշանակուխյուն ունի երկնաց սիստեմի բաղադրուխյան հաստատունուխյունը, առանց որի տնձնար է ստանալ հոսման ստացիոնար ռեժիններ։

Նևրկա հաղորդման մեջ նկարագրվում է հաստատուն րազադրությա<mark>ն և հրկֆաղ հոսանրի ստացման լարորատոր սար</mark>քը (նկ. 1) և բերվում են <u>z=</u>((v),

Այդ նկարներում Ե-ի և չ-ի, ինչպես նաև գ-ի այն արժերները, որոնք նշանակված են խաչերով, ստացված են փորձից, իսկ գ-ի հոծ կորը հ<mark>աշված</mark> է տեսականորեն, օգտվելով (1) և (2) հավասարումներից։ Փորձերը կատար<mark>ված</mark> են 0,42 - 0,32 մմ ֆրակդիայի կվարցային տվացի համար։

Կատարված հետագոտություններից ստացված է, որ՝

- 1. Մոնժուսային իսողովակում դոյացած հրկֆաղ հոսանքը ճիշտ նկարադրվում է (1) հավասարումով։
- 2. Բոտ նվ. 1 սիսեժալի. -ի հաստատան լիները պայժանավորված է ժիալն արվող ջրի հաստատան լիներով։
- 3. -- ի արժեքը կախված է նաև մոնժուսային խողովակի մուտքի մասի ձևից և ուղղությունից (ահո նկ. 2 և 3,5—8)։
- 4. Ե-ի վաքը՝ արժեքների դեպքում Հ-ի արժեքը կախված է Ե-ից։ Ե-ի մեծացման հետ Հ-ի արժեքն էլ մեծանում և հասնում է մի հաստատուն մեծության, որից հետո այլևս Ե-ն Հ-ի արժեքի վրա զգալիարեն չի ազդում։
- 5. Եթե հարկավոր է ստանալ շ-ի ստատուն փորբ արժեքներ, պետք է ստացված խասնուրդը լրացուցիչ կերպով նուրացնել չրով։ Այդ դեպքում --ի և Ն-ի արժեքները տետք է հաշվել (4) և (5) հավասարումներով։
- 6. Մեծ դիտարացանում փորձարկվան է ենքարկիած մոնժուսալին իտդովակի ժուտքի ժասի նկ. 2₈ ձևը, ժոնժուսալին խողովակի տրամադիծը 1,5 մինչև 81 ժմ, ժոնժուսի տարողությունը 0,5 լիտրից մինչև 10 մ^{*}, հոսժան արացությունը տասնորդական սանտիմետրից 4 մ վրկ, մասնիկների մեծությունը 10-ից մինչև 1000 միկրոն, միջավայրի խասությունը 0,09 կդ մ իր մինչև 1000 կդ մ^{*} համար

ЛИТЕРАТУРА

- 1. А. М. Гаспарян, А. А. Заминян. ДАІз, Армянской ССР, т. XXVIII, 127, 1959.
- А. М. Гаспарян, А. А. Заминян, Р. Е. Акопян, Н. С. Икарян. Повые методы измерения и приборы для гидраванческих исследования. Изд. АН СССР, М., 1961.
- Л. М. Гаспарин, Н. С. Икарян. № вестия АН Армянской ССР*, серия ТН, 1. XV. № 2, 1962.
- А. М. Гаспарян. Р. Е. Аконян. "Известия АН Армянской ССР", серия ТН, т. XIII, № 5, 1900.
- 5. А. М. Гаспарян, П. С. Икарян. ДАН Армянской ССР, г. XXXV, 1962.

ZUSUUUU UUR ԳԻՏՈՒԹՅՈՒՆՆԵՐԻ ԱԿԱԴԵՄԻԱՅԻ ՏԵՂԵԿԱԳԻՐ ИЗВЕСТИЯ АКАДЕМИН НАУК АРМЯНСКОЙ ССР

Market abmorp, akrhu

XV. No 6, 1962

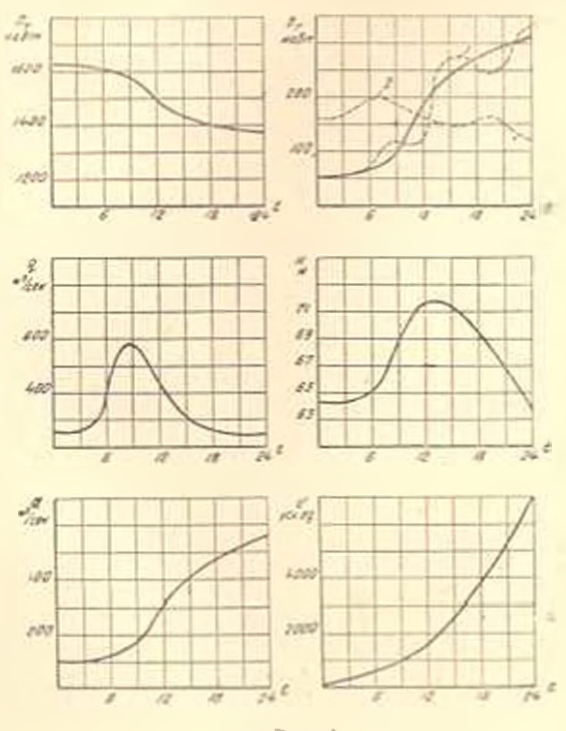
Серия технических наук

НАУЧНЫЕ ЗАМЕТКИ

В Г. БЕГЛЯРОВ

ПРИМЕР РАСЧЕТА ОПТИМАЛЬНОГО РЕЖИМА РАБОТЫ ТЭС И ГЭС НА ЦИФРОВОЙ МАЦИНЕ

В Институте энергетики АН Армянской ССР, по алгоритму приведенному в [1] с номощью цифровой машины, был выполнен расчет оптимального режима работы одной гидроэлектростанции (ГЭС) при совместной работе с несколькими тепловыми электростанциями (ТЭС) Закавкаяской энергосистемы. Эквивалентная характеристика относительных приростов системы ТЭС была взята орнентировочно. Весь цикл регулирования был разбит на 24 условных отрезка времени дли-



Pac. 1.

тельностью по 15 суток каждый. График средних нагрузок за гол был принят постоянным (в действительности для рассматриваемой светемы отклонения нагрузок от среднего значения составляют примерно 6%). Результаты расчета на цифровой машине приведены на рис. 1. В графике 3 рисунка приведена кривая приточности в водохранилище ГЭС,

использованная при расчете. Как частный случай, объем сработки воды из водохранилища был принят равным ожидаемому объему притока. На этом рисунке P_{τ} и P_{r} — средние значения нагрузок ТЭС и ГЭС, Q— средние значения расходов воды через турбины, H— напор, V— объемы сработки воды из водохранилища в условных единицах (1 условная единица равна 1.296,000 M^{3}).

Экономия топлива составила по сравнению с одним из возможных режимов величину порядка $2.5\%_0$. При этом средняя нагрузка ГЭС за весь цикл регулирования составляла примерно $12\%_0$ от средней нагрузки системы. Колебания напора паходились в пределах примерно $10\%_0$ от максимального напора для данной ГЭС. Этот пример позволяет определить ориентировочно тот экономический эффект, который можно ожидать по Закавказской энергосистеме при внедрении оптимальных режимов. При удельном весе ГЭС в системе порядка $50\%_0$ и при максимально возможном колебании напоров, лежащих для большинства Закавказских ГЭС в пределах $3\div5\%_0$, экономия топлива может составить величну порядка $4\div6\%_0$.

Рассматривая кривые оптимальных нагрузок станций и принимая во внимание, что кривая нагрузок ТЭС, как уже указывалось в [1], должна быть весгда монотонно убывающей, легко заключить, что в общем случае переменного графика нагрузки эпергосистемы, например, при его колебании около некоторого среднего значения, кривая нагрузок ГЭС будет иметь при общей тенденции к возрастянию конечное число локальных максимумов и минимумов, как это изображает пунктирная линия на втором графике рис. 1. В том случае, когда кривая нагрузки системы имеет тенденцию к убыванию в рассматриваемом интервале времени, кривая нагрузок ГЭС может иметь вид, изображенный пунктирной линией 2 на том же рисунке. Расчеты были выполнены в Вычислительном центре АН Армянской ССР по программе, составленной сотрудницей ИНЭН М. М. Адонц. Время расчета с учетом печати составило восемь минут.

Институт энергетики АН Армянской ССР

Поступило 19.IV, 1962 г.

ЛИТЕРАТУРА

 Бегляров В. Г. Оптимальные режимы энергосистем. Известия АН Армянской ССР (серия ТН) т. XV, № 1, 1962 г.

2 4 3 В Е С Т И Я А К А Д Е М И И Н А У К А Р М Я И С К О Й С С Р

Տեխնիկական դիտութ. սևշիա

X 6 19 2

Серия технических внук

научные заметки

HRHPAK J JK

ЛАБОРАТОРНЫЙ ВИБРАЦИОННЫЙ СТОЛ

Тарировка акселерографов в большинстве случаем производится с помощью однокомпонентных гармонических вибрационных столов с мехвическим (центробежный, эксцентриковый), электродинамическим или пьезоэлектрическим приводом [1]. В вибростолах с мехвическим приводом затруднена регулировка амплитуды и частоты колебаний, а также велико влияние паразитных вибраций. Возбудителем колебаний в вибрационных столах с электродинамическим или электромаг интным приводом служит силовая катушка питающаяся от генератора переменного тока. От действия переменного магнитного поля силовой катушки, вибростол приходит в колебательное движение.

Автором заметки для тарировки виброизмерительных приборов, сконструирован вибрационный стол с электромагнитным приводом. Питавие электромагнита производится от двух генераторов типа ГЗ- 2, которые имеют дианазон частот от 20 до 20.000. Низкочастотные токи получаются модуляцией двух частот от двух генераторов в результа-

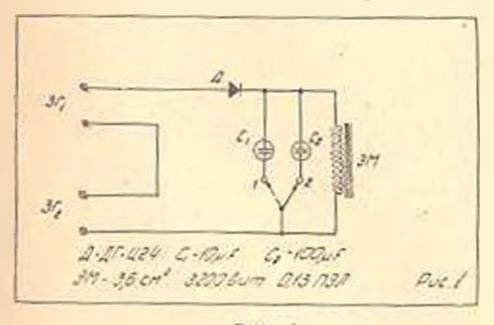


Рис. 1.

те биения. Частоти биения зависит от разности частот генераторов. После детектирования и фильграции на имходе получаются синусондальные колебания требуемой частоты. Начальная частота выбирается порядка 200 герц. Электрическая схема преобрязования частот приведена на рис. 1. Надо отметить, что генерато-

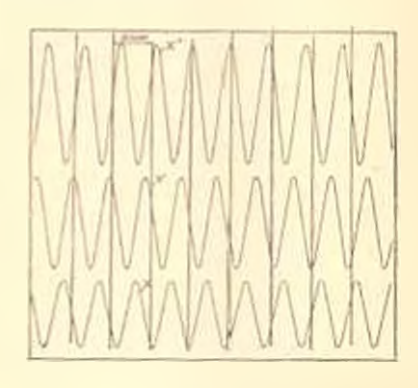
ры Г3-2 маломощные и при относительно большой массе и жесткости стола они не были в состоянии создать выпужденные колебания с необходимой амплитулой. Имея в вилу это обстоятельство создавалось резонансное состояние, при котором частота возбуждающего тока, совнадала с частотой свободных колебаний стола.

Амплигуда колебания регулировалась путем изменения степени модуляции. Платформа вибрационного стола размерами в плане 30× ×40 см была подвешена на четырех стальных лентах длиной по 30 см. Эти стальные подвески исключили возможность вертикальных и кру-

тильных колебаций платфоры. Частота собственных колебания стола менялась удлинением или укорочением свободной ллины лент. Для ног. ощения колебаний высших порядков пустоты внутри пожек стола были залиты битумом. Конструкция вибростола показана на рис. 2.



Гри замене стальных тент более жесткими можно расширить двапазон необходимых частот. На вибраннонном столе смонтированы приборы позволяющие регистрировать амплитулу колебания, скорость и ускорение столя и гарируемого прибора. В осуществленном вибростоле можно соб-



PRC 2

Рис. 3.

ственные колебания изменить в пределах от 2 до 60 герц, получать ускорения от 0 до g/2 и измерять смещения от 0,01 до 0,5 мм при полном отсутствии паразитных колебаний. На рис. З приведена запись смещения, скорости и ускорения стола.

Армянский НПП строительных чатериалов и сооружений

Поступнао 5.1Х.62 г.

ЛИТЕРАТУРА

1. Нориш Ю. И. И мерение "ибрани. Машии., М., 1956.

«Հայկական ՍՍՌ ԳԱ տեղեկագրի» (Տևխնիկական գիտությունների սերիա) XV ճատոթի

եիշառական մեխանիկա
Ա. Գ. Նազարով, Գիևդ ժարժինների ժե
րասման մասին (հագորդում 6) Ն. Ա Սնիակո, Ե. Ի Կանդատրավ
Հագվողակուն «Նինիկա
4. B. Մարիոսյան. Ահրեզնատ գործողության ժերևնաների գրա էլեկտրական չզրևու հերի ժամյոժայրային հավասարուժների լուժժան հարցի վերարերյալ 21
Ինժենեւական «ևյաքոլոգիտ
է, և հայիլան, Ուժեց երկրայարժերի ակտելերացրաժների հիման վրա կառուց- գածյների սեյոժակայուն իրան հայվարկ (հացորդում է)
Կիշառական մեռեսբոլոգիա
Ա. Մ. Միսիրարյան. Սեանա յճի ավագանի բրիզների ժասին համկույնի Զերժաստի- ձանի իրական բայիժան ժիքոցով հրանց հայժման մի բանի արդյունըները (հազորգում 1)
Էլեկուասիանիկա
Bn: Մ. ծանկազարյան։ Բարգ էլեկարական սիստեժների զուժարային կայունության ստուցման առանձնանապես թյունները
ելնկուաեներգեռիկա
Վ. Գ. Բեզլյարով. Եներդոսիստեժների ողաիժայ ոնժիժները
Հիդուսվլիկա
1. 1. Իունիաթյան. Ենթային նրատարևերում նեզուկների չնաստատված գարմումների ունժիժների մասին
1. Լ Իունիության։ Ջրի չնաստապված շարժումը կնծարոնախույս պոմպերի մդման հաղովակներում 3-17 Հ Հ Ղունթարյան Ջրի չարժման դերրուոն սեժիմ ունեցող արագանուի շատանց ալի- ըիս լայնական կարվածրի պրոֆիլի մասին
the tentum in a facilitate distribution of the second of t

2.	11.	Праводий. Индатория предатору станованова погранция	
		guestia Sp Purch pagas duning pagas de	1-43
4	U.	MidaGiaG. Ugan dagapangsp happ happ haby appadements sand	
		inquish to the purpose and a constant of the c	2- 33
		Հիդբունինիկա	
II.	11.	Billimbund. budhamif jundamb Champber abginning apparantal ghapped	601
		նկիազարյան. Ջրային անաագրաները և պայրարը ժանր ու խորոր հաժրարեն.	
		the Sth animphosphosphosphosphosphosphosphosphosphos	4-13
Į,	ф.	Thinpsujus. I wante to the dark darktong fellowings a mandage dom .	3 27
Ц.	9	Պետրոսյան։ Ծախար կավիտացիսե կրիգիս	8 - 43
		Հիգ բո էն նեցնելկա	
p,	Ι,.	Росбрафия Серефбер Сининара заредай калерар пенерор Сради-	
		mnippfWhhpmid (Sugappoid 2)	4 -3
ч.	lia_	Հավանդիրան, Ա. Ա. Մերբանյան- Հիդրոժեի-ահիկական պարաժետրերի Հաջվառումը	
		channaby and amplied described and and apply and the control of th	9-33
		Արայան, Հայկական ՍՍՌ դետերի հոսըի վարիացիայի ժամին	
		Զակ. Հայկական գնանրի միքին հարը և հրա փոփոխականությունը	
G,	(L	եանրագրան Հիգրոյոգիական շարբերի ստոխասարկ ժողևյացժան արտագործժան	
		dbfinghtush groups coup pundands amandra states changemen pour des	3 _ 30
		Շինաբաբական կոնտուրկցիաներ	
Į,	4,.	նանսուվուրյան, Ժ. Գ. Զարաբյան, <i>Կահոհավոր 14ի տուֆարարերից ժիտաակ</i>	
10	-	որժածրի աժրու իկունը և զեֆորժացիոն մատկուիկունը	507
U, ·	1,,	Պիրադով, Սոասանցը ծախալարված ծժուշենրի առածչրային հղմած ուսուժ Նասիրությունը	0 40
4.	13	Փինացյան, Ռ. Ս. Ավեաիսյան. Հարարձառևային նեծանների հատաքեկական և	D 4 2
-1	-4-	հոգևածային ամբությունը (հագորդում է)	3-41
4,	4,	Փինաքյան- Հ Մ, Կանեցյան, Ռ, Ա Ավետիսյան- Լաբարձառևային Հենանների	
		ատատիկական և հոգնածային ամբությունը հագորդում 2)	435
		473.00	
		ՇԻնանլուր ե ր	
÷.	U.		3_ 11
		արիական բեխնոլոգիա	
11.,	III.	Գուուգուգյուն, ե. Ա. Իկտորան, Մատերկենքը կաշկանոված անկում (Հուգորդում է)	2 _ 19
		Դասպարյան, Ն. Ս. Իկարյան. Մասհիկծնրի կալկանդված անկում (հագորդում 6)	
IL.	Iľ.	Դասպարյան, Ռ Ե, Հակոբյան Ժ Հ Վազան-յան, Հասատառեն բազադրու-	
		Punk heldend immediate	0 19
		Գիոական նորbr	
11.	IJ	Ավետիսյան, Նախապես դարված երկաթյանանե նեծածծերի նոգծածության ամ- թության ժամին	243
4	9.	բեզլյարով. Հաշվել մերեհայի ժիքոցով կատարված ձերժանյեկտրակայածների	
4, 1		և հիղորվակարակայան երի համատեց աշխատանցի հաշվարկի որինակ	0_37
U.	ß.		2 00
			4
IF.	Ψ,	han figure tupop many maps of population of the second of	0-89

СОДЕРЖАНИЕ

		XV тома "Нэвестий АН Армянской ССР" (серия технических наук)	
		№ —cт).
		Прикладная механика	
		Назаров О механическом подобни твердых тел и его применении и исследованию строительных конструкций и сейсмостойкости сооружений (Сообщение 6)	
		Вычислительная техника	
П	A	Матевосян. К вопросу решения матричных уравнений электрических це- ней на машинах пепрерынного денствия	-3
		Инженерная сейсмология	
Э	E	Пирузян. О сейсмическом микрорайоннровании на основе инструментальных ноблюдений	-43 -3
	٠.	сильных землегрясений (Сообщение 2)	-3
		Прикладная метеорология	
		Мантарян. О бризах и бассейне озера Ссван и некоторых результатах их расчета по фактическому распределению температуры подстилающей поверхности (Сообщение 1)	
		Электротехника	
		1 Нахназарян Особенности проверки результирующей устойчиности сложных электрических систем • • • • • • • • • • • • • • • • • • •	
		Электоэнергетика	
B.	C.	Бегляров. Оптимальные режимы энергосистем	-13
		Гедравлика	
ß.	Л.	Бунцатян. О псустановившихся режимах пвижения жидкости в напор-	- 35-

E	 Л. Буниатин. Неустановывшееся движение воды и нагнетательных трубо- проводах центробежных напосов. 	3 17
2	4. О. Гамбирян. О "неполновом" профиле поперечного сечения быстрогока со	
I	сверхбурным режимом движения поды · · · · · · · · · · · · · · · · · · ·	
7	трым ребром в прямоугольном призматическом русле • • • • • • • • • • • • • • • • • • •	1-45
-	ческих руслах на участке бокового водослива	2-33
	Гидротехника	
	С. С. Asemucos. Траектория движения капяты при отрывном обтекання · · · · ·	5—51
	малых и больших воловмов	
	П. Г. Петросян. Момент сидродинамического давления на водослинную плотину. П. Г. Петросян. Кавитационный кризис расхода	
	Гидроэнергетика	
1	5. Л. Буниатян. Неустановиншийся режим личжения жидкости в реактивных	
,	гидротурбинах (Сообщенке 1)	4-3
	чете ресинхронизации гидроагрегатов	6 - 33
	Гидрология	
	3. А. Атаян. О вариации стока рек Армянской ССР · · · · · · · · · · · · · · · · · ·	
	А. И. Зак. Средний сток и его изменчиность по рекля Армянской ССР · · · · · · · · · · · · · · · · · ·	1-53
	гидрологических рядов в исследовании многолетиих колебании стока - •	5-59
	Стронтельные конструкции	
1	В. В. Пинаджян, Р. С. Аветисян. Статическая и усталостная прочность струнобетонных балок (Сообщение 1)	3_11
1	В. В. Пинаджени. Г. М. Канеции, Р. С. Аветисии. Статическая и усталост-	
	ная прочность струнобетонных балок (Сообщение 2)	4 35
	на осевое растижение	6-41
	Л. В. Шахсуварян, Ж. Г. Захарян, Прочность и деформативность однослой- ной кладки на туфовых камней правильной формы	5-67
	Стронтельные материялы	
	А. А. Аракелян. О деформационных свойствах цементных растворов	3-51
	Химическая технология	
	А. М. Гаспарян, Н. С. Икарян. Стесненное падення частии (Сообщение 1) - А. М. Гаспарян, Н. С. Икарян. Стесненное паление частии (Сообщение 5)	
	А. М. Гаспарян, Р. Е. Акопян, Ж. А. Казанчян. Получение двухфазного пото-	
	ка постоянного состава	5-49
	Научные заметки	
	Р С Аветисни. Об устаностной прочности предпарительно инпряженных желе- побетонных балок	
	В. Г. Бегля ров. Пример расчета оптимального режима ТЭС и ГЭС яз цифро-	
	м. Г. Хачинн, Малогабаритный жидкостный акселерограф	4 - 65
	М.Г. Хачаян. Лабораторный вибрационный стол	6-59
	и. о <i>роция</i> я, песимметричные щатунные кривые шариорного четырск женинка	209

ቦበዺԱՆԴԱԿብኮԹՅՈՒՆ

			kg
		հի ւառական մ <i>ի</i> խամիկա	
П.	Դ.	Նազարով Քինդ մարմինների մեխանիկական նմանության և չինար <mark>արական կոնստ-</mark> րուկցիաննրի ու կառութվածջների սնյոմակայունության մեր նրա <mark>կիրառմա</mark> ն մասին (հաղորդում 6)	3
		Կիշտոական մեռեուոլոգիտ	
H.	lľ	Մխիթաշյան, Սհանա լմի ավաղահի բրիզների մոսին և ծածկույքի լերմաստի- Տանի իրական բաշխման միջոցով նրանց Տաշվման մի բանի արգյունըները (Հաղորդում 2)	13
		Հիդսսէներցեցիկա	
ŧ,	lha	Հովսեփյան, Ա. Ս. Մելքոնյան. Հիգրոտեններկական պարաժետրերի հաշվառումբ	
	411.	հիդրուագրեզատների ռեսինիդոսիզացիայի հաչվառման ժամանակ	3.5
		Շինաբաբական կոնսուուկցիաներ	
U.,	Įŧ,	Պիշադով, Եռառանցը հախարարված հեռույների առանցցային ձգման - ուսումնա- ոիրությունը	41
		ակըրդունական անկանության	
IL	Ir.	Դասոլաբյան, Ռ. Ե. Հակոբյան, Ժ. Հ. Ղազանչյան, Հաստատուն բազադրության	
<u> </u>		ևրկֆազ Հոսանցի ստացումը	49
		Գ-իռական նորհո	
٩Ļ,	η.,	Physjarad, Հայվիլ մերենայի միջոցով կատարված ջերժակլեկտրակայանների Հա.	
		մատեղ աշխատանրի Հաշվարկի օրինակ	57
U.	٩.	եալիյան, Հաբորատորային վիբրացիոն սնդան	59
For	fact.	ւդակություն XV հատորի	62

СОДЕРЖАНИЕ

	Стр.
Прикладная механяма	
А. Г. Назаров. О механическом подобин івердых тел и его примененни к исследованию строительных конструкций и сейсмостойкости сооружении Сообщение 6	3
Прикладная метеорология	
А. М. Мхитарям О бризах в бассейне озера Севан и некоторые разультаты их расчета по фактическому распределению температуры подстилающей поверхности. Сообщение 2.	
Гидроэнергетика	
К. Х. Овсепян. А. С. Мелконян. Учет гидромеханических параметров при рас- чете респихронизации гизроагрегатов	33
Строительные конструкции	
А. Б. Пирадов. Исследование грехосие предварительно напряженных образцо на осевое растяжение	в 41
Химическая технология	
А. М. Гаспарян, Р. Е. Акопян, Ж. А. Казанчян. Получение авухфазного пото- ка постоянного состана	49
Научные заметки	
В. Г. Бегляров. Пример расчета оптимального режима ТЭС и ГЭС на цифровов машине	57 59
Содержание XV тома	63



ВФ 00681

Bakas 463

Иза. 2227

Тираж 550

Славо в произволстно 26.1X 1962 г. Подписано к печати 25/XII 1962 г. Печ. а. 41/_в. Бумага 70×108^г га.